

# **MODELO VISCOHIPOPLÁSTICO**

Universidad de los Andes

Departamento de Ingeniería Civil y Ambiental

William Mario Fuentes Lacouture



# Contenido

## 1) Observación experimental de los suelos finos

- Resultados experimentales
- Efectos viscosos
- Descripción matemática

## 2) Visco-hipoplasticidad en 1D

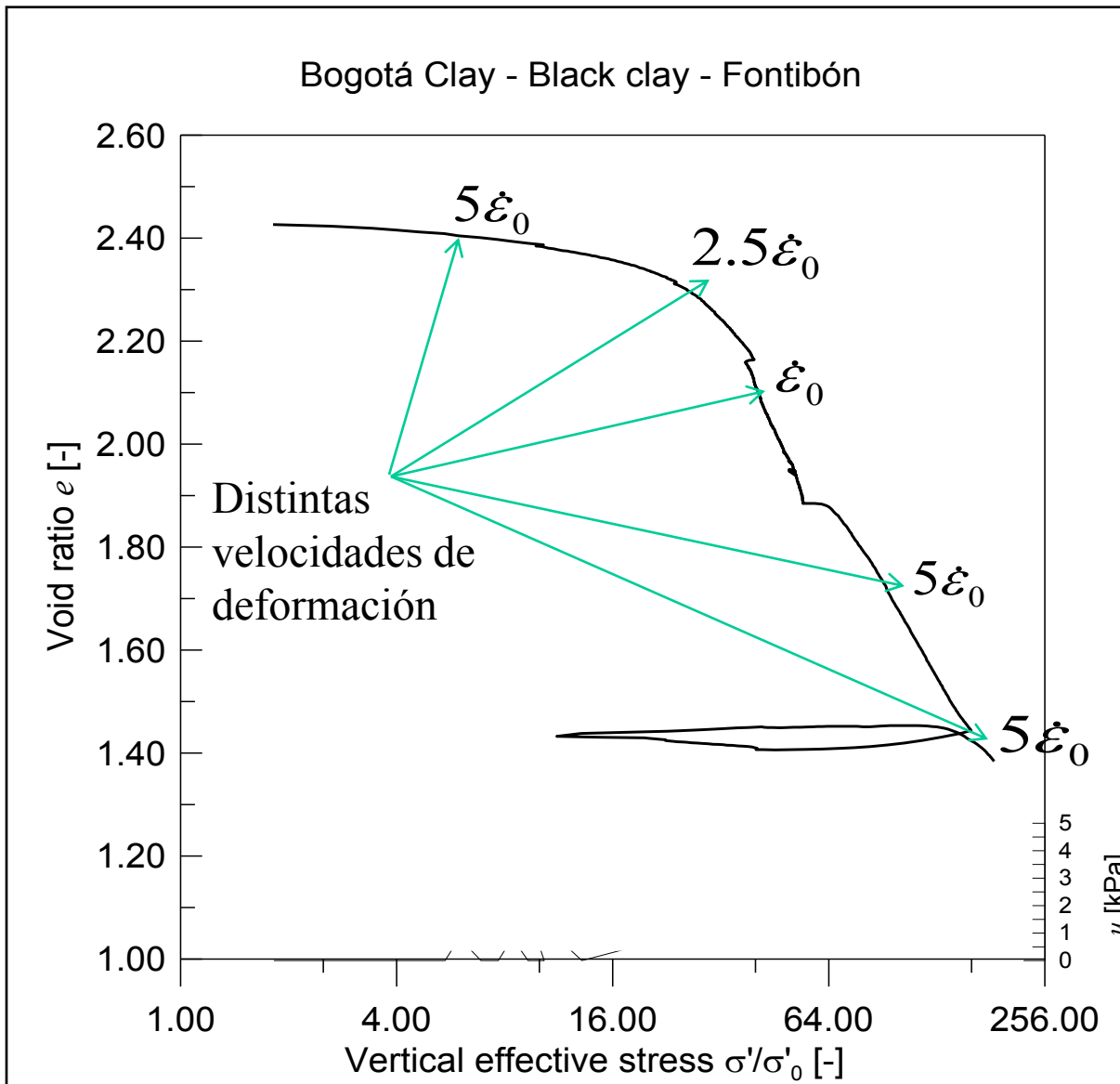
- Derivación de la ecuación constitutiva en 1D

## 3) Visco-hipoplasticidad en 3D

- De Hipoplasticidad a Visco-hipoplasticidad
- Factor de barotropía
- Definición OCR
- Tasa de deformación viscosa
- Valores de referencia y parámetros del modelo

# **1) Observación experimental de los suelos finos**

# 1) Observación experimental de los suelos finos



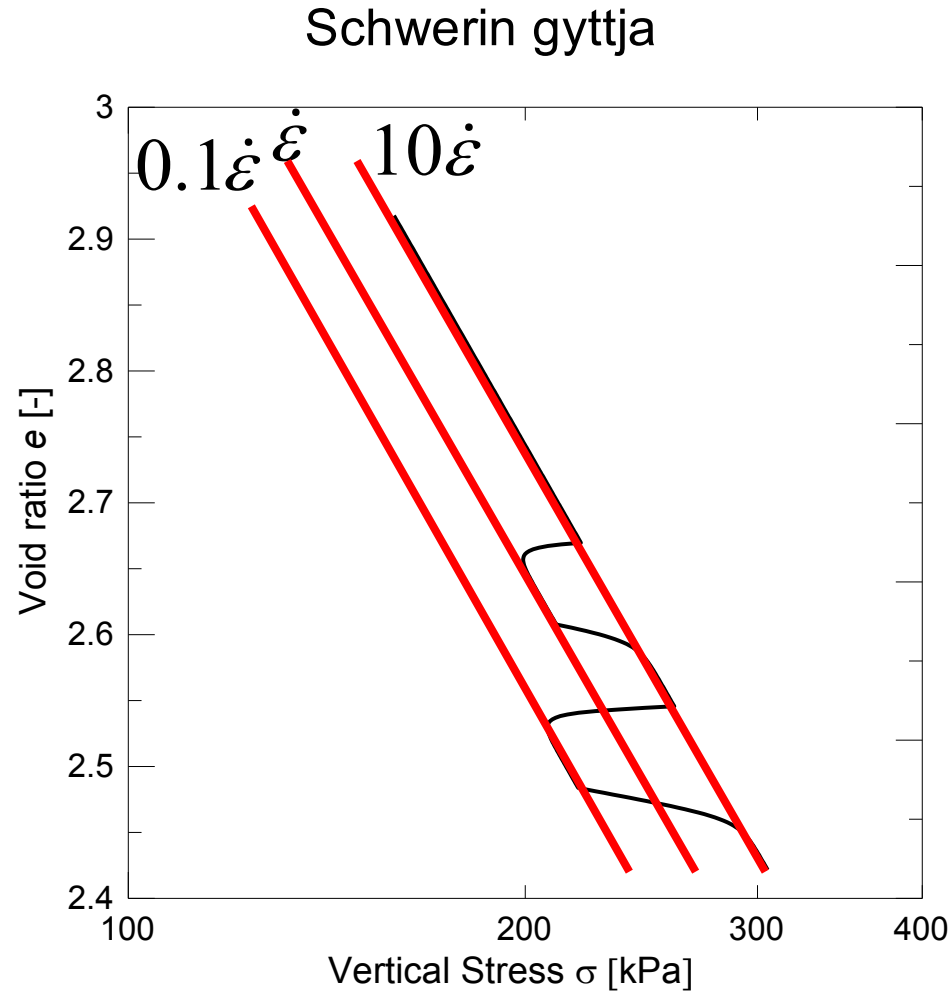
Ensayo de  
Consolidación  
oedométrica

Hoyos (2004)

# 1) Observación experimental de los suelos finos

Ensayo de  
Consolidación  
oedométrica

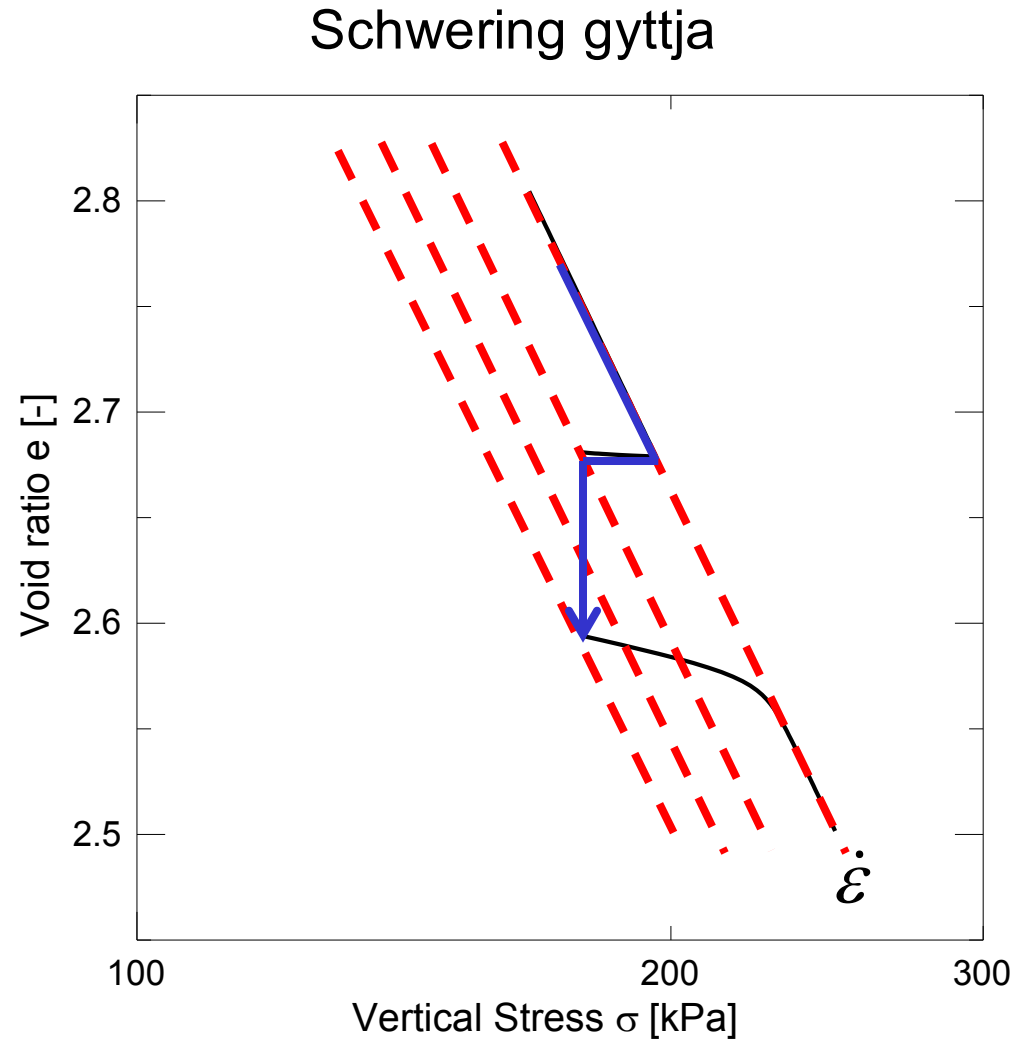
- **Dependencia de la tasa de deformación**



# 1) Observación experimental de los suelos finos

Ensayo de  
Consolidación  
oedométrica

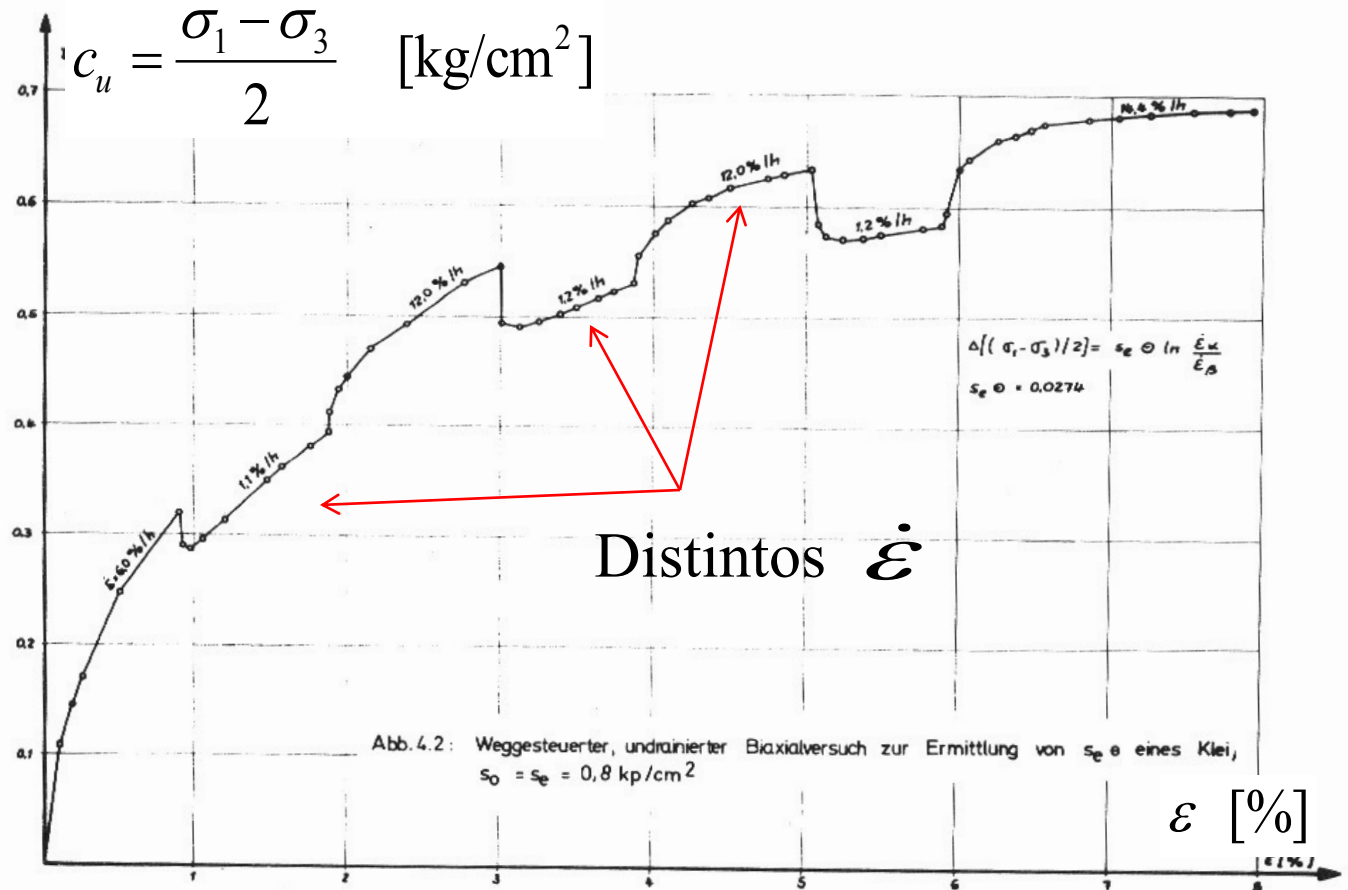
- Creep  
 $(e \downarrow \text{ con } \sigma' = \text{kte})$



# 1) Observación experimental de los suelos finos

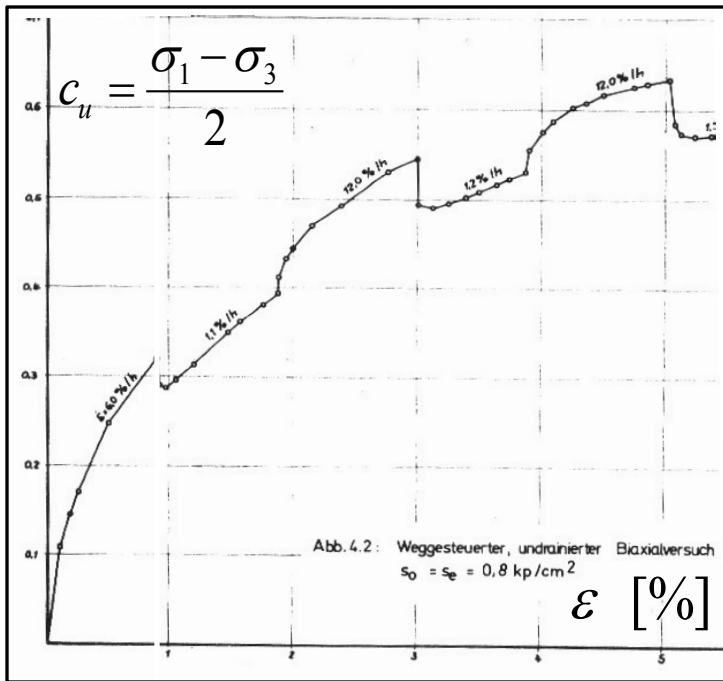
Ensayo biaxial  
no drenado

- **Resistencia  
del suelo**

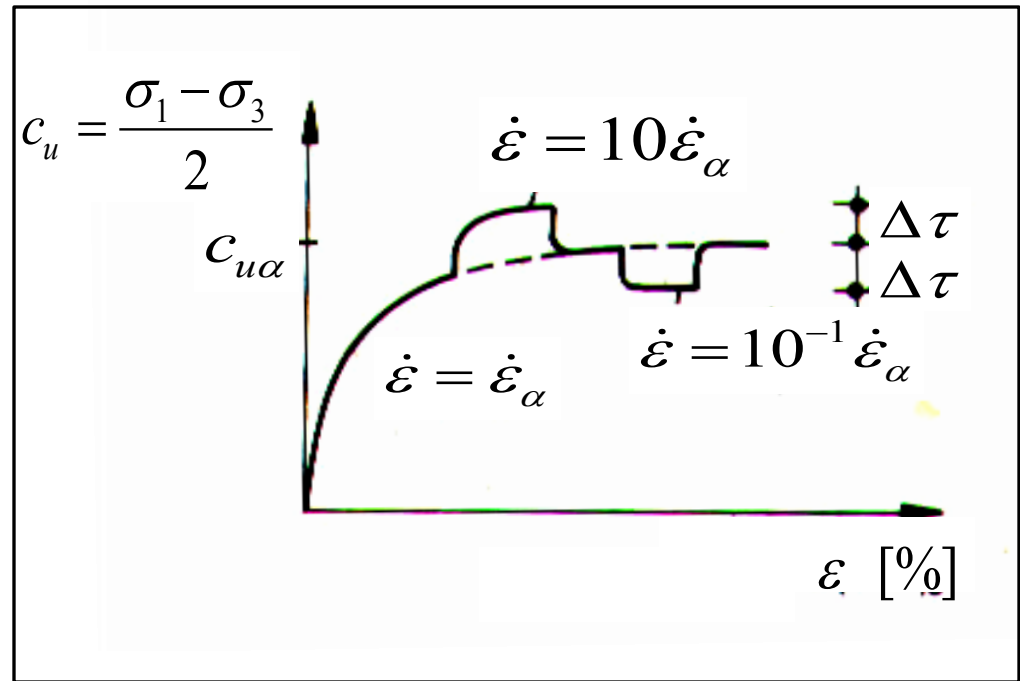


Leinenkugel (1973)

# 1) Observación experimental de los suelos finos



$$c_u = c_{u\alpha} \left[ 1 + I_{v\alpha} \ln \left( \frac{\dot{\epsilon}}{\dot{\epsilon}_\alpha} \right) \right]$$

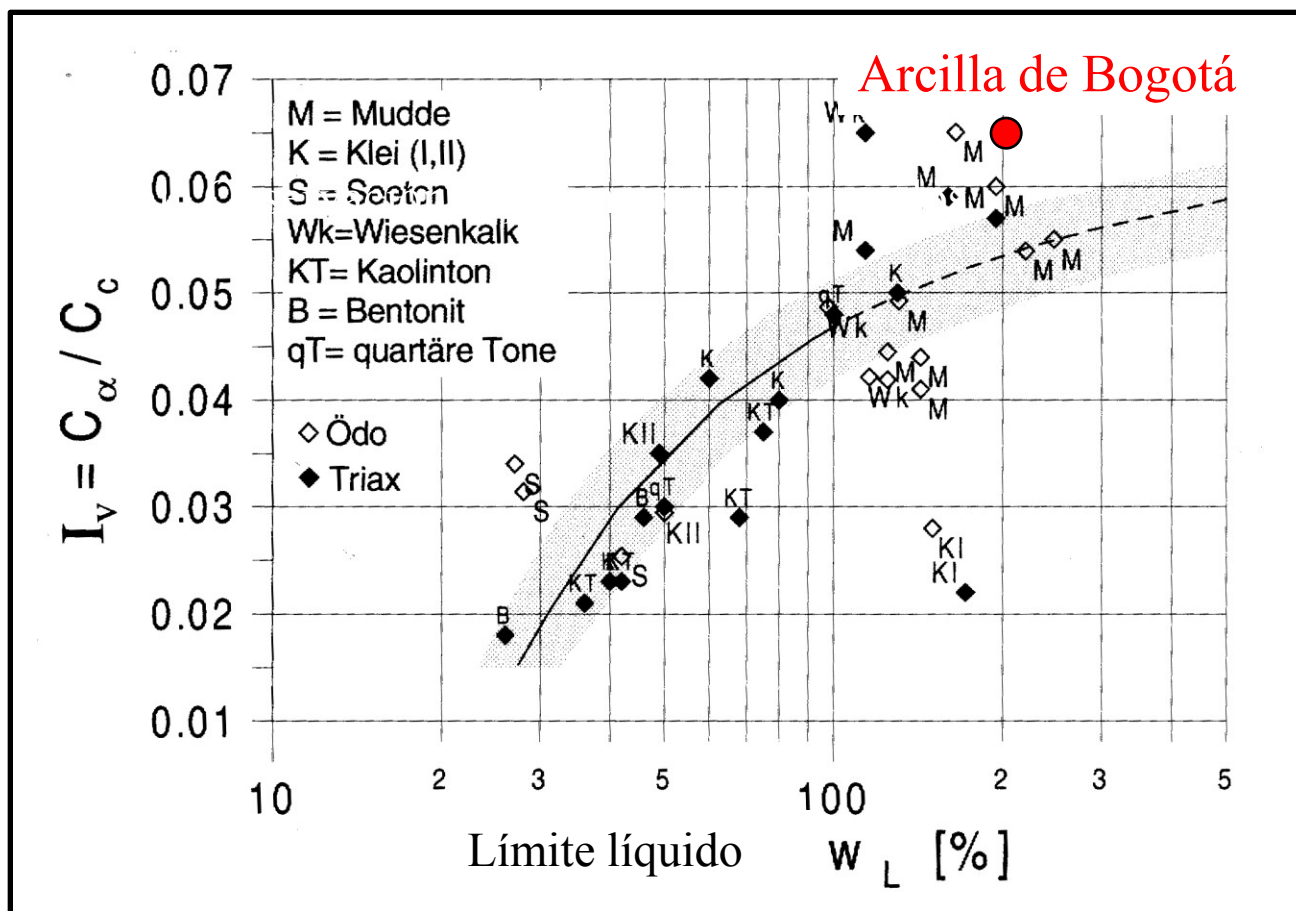


$I_{v\alpha}$ : Indice de viscosidad  
 $\dot{\epsilon}_\alpha$ : Velocidad de referencia

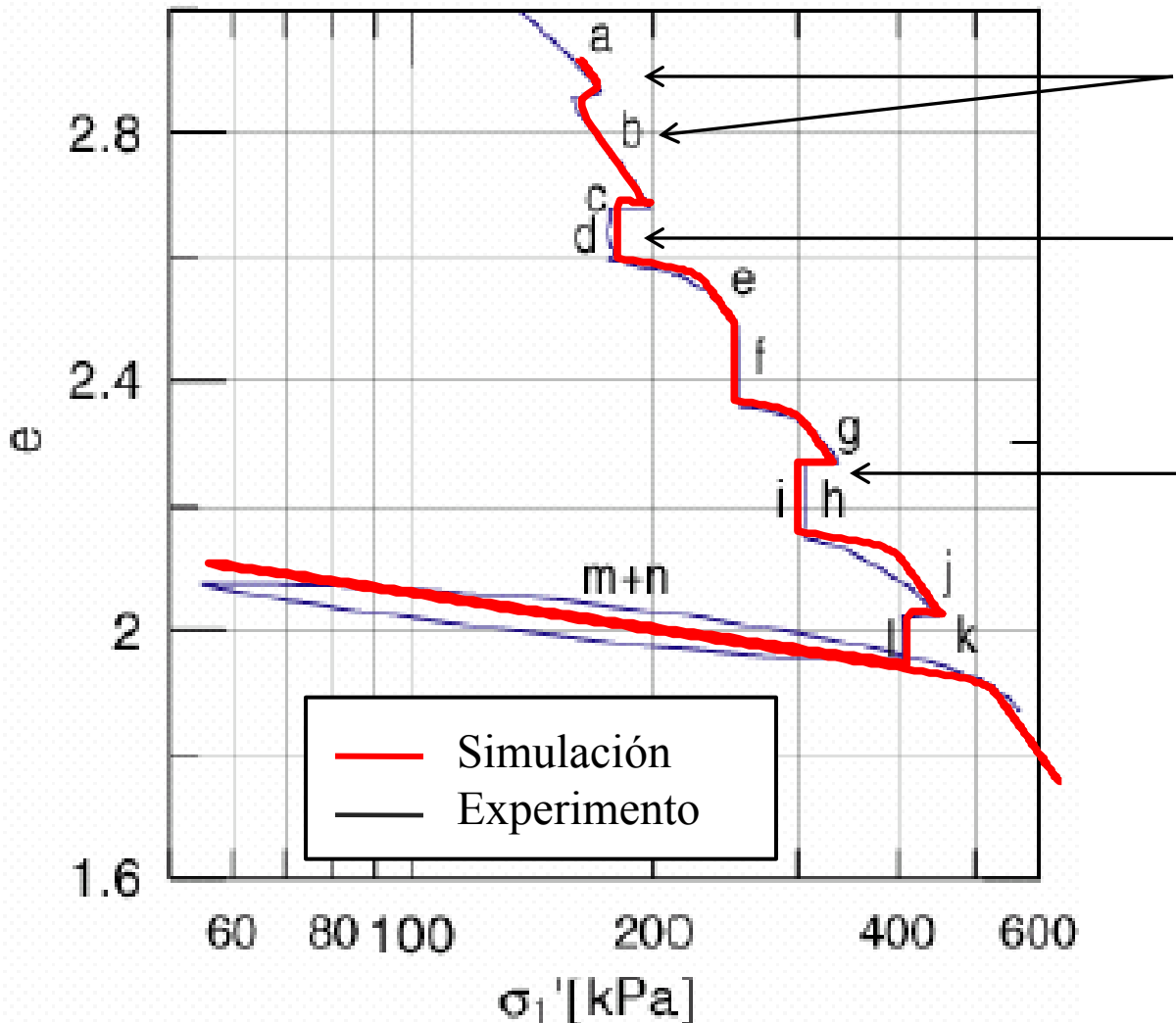
Leinenkugel (1973)

# 1) Observación experimental de los suelos finos

El índice de viscosidad  $I_v$  se puede correlacionar con el límite líquido  $w_L$ :



# 1) Observación experimental de los suelos finos



Dependencia de  $\dot{\epsilon}$

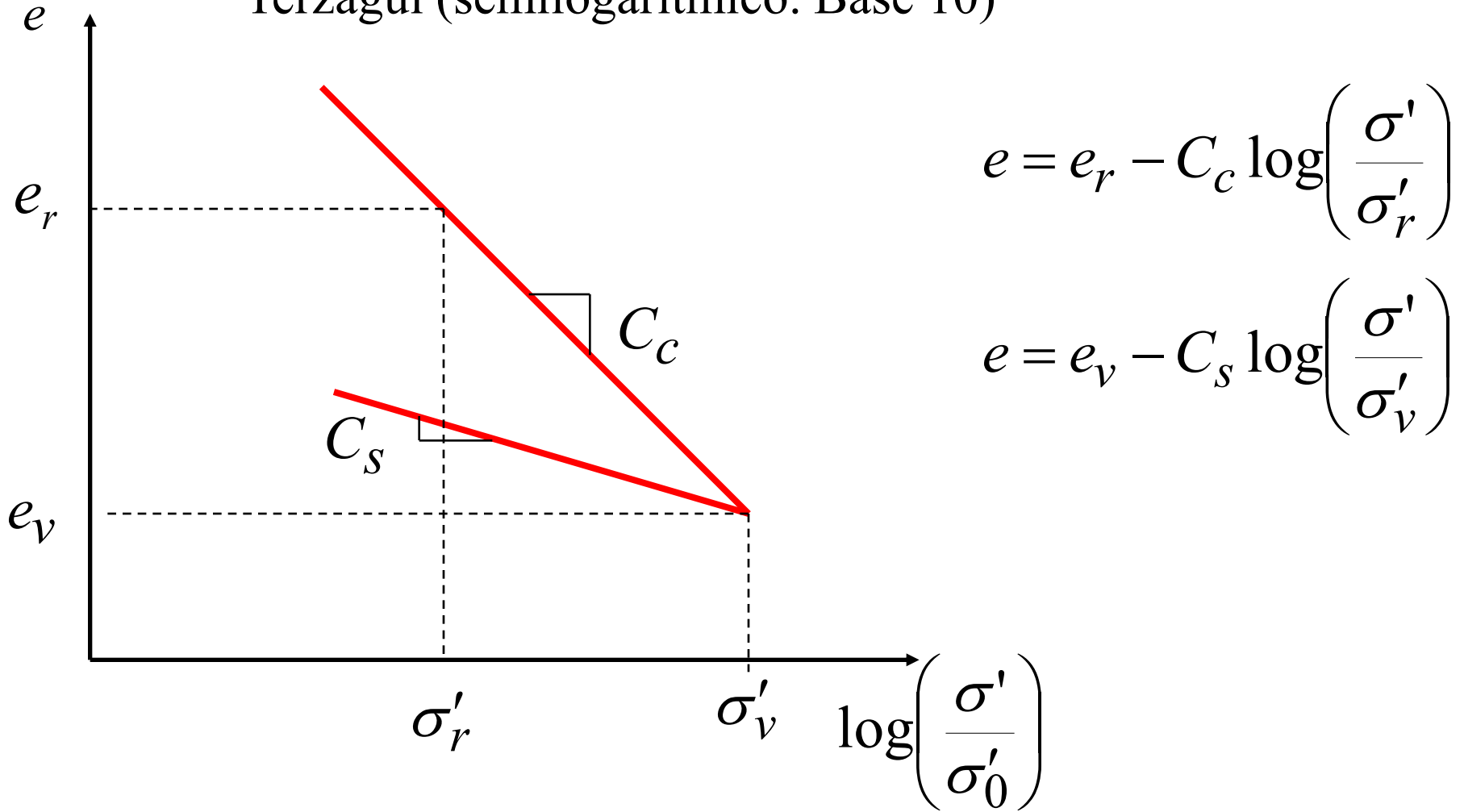
Creep

Relajación de los  
esfuerzos a  
deformación  
constante

Krieg (1995)

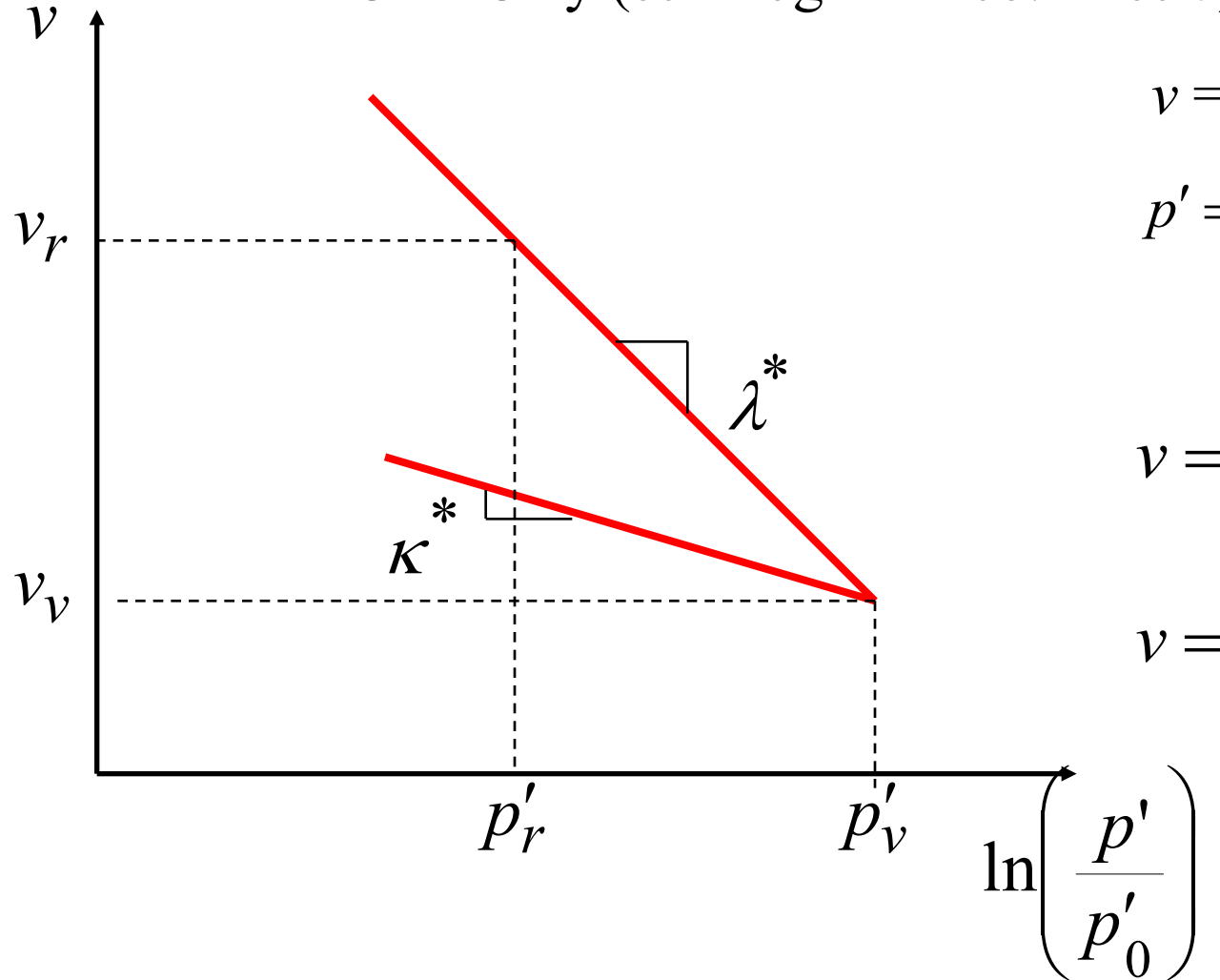
## Descripción matemática

Terzagui (semilogarítmico. Base 10)



# Descripción matemática

Cam Clay (semilogarítmico. Base  $e$ )



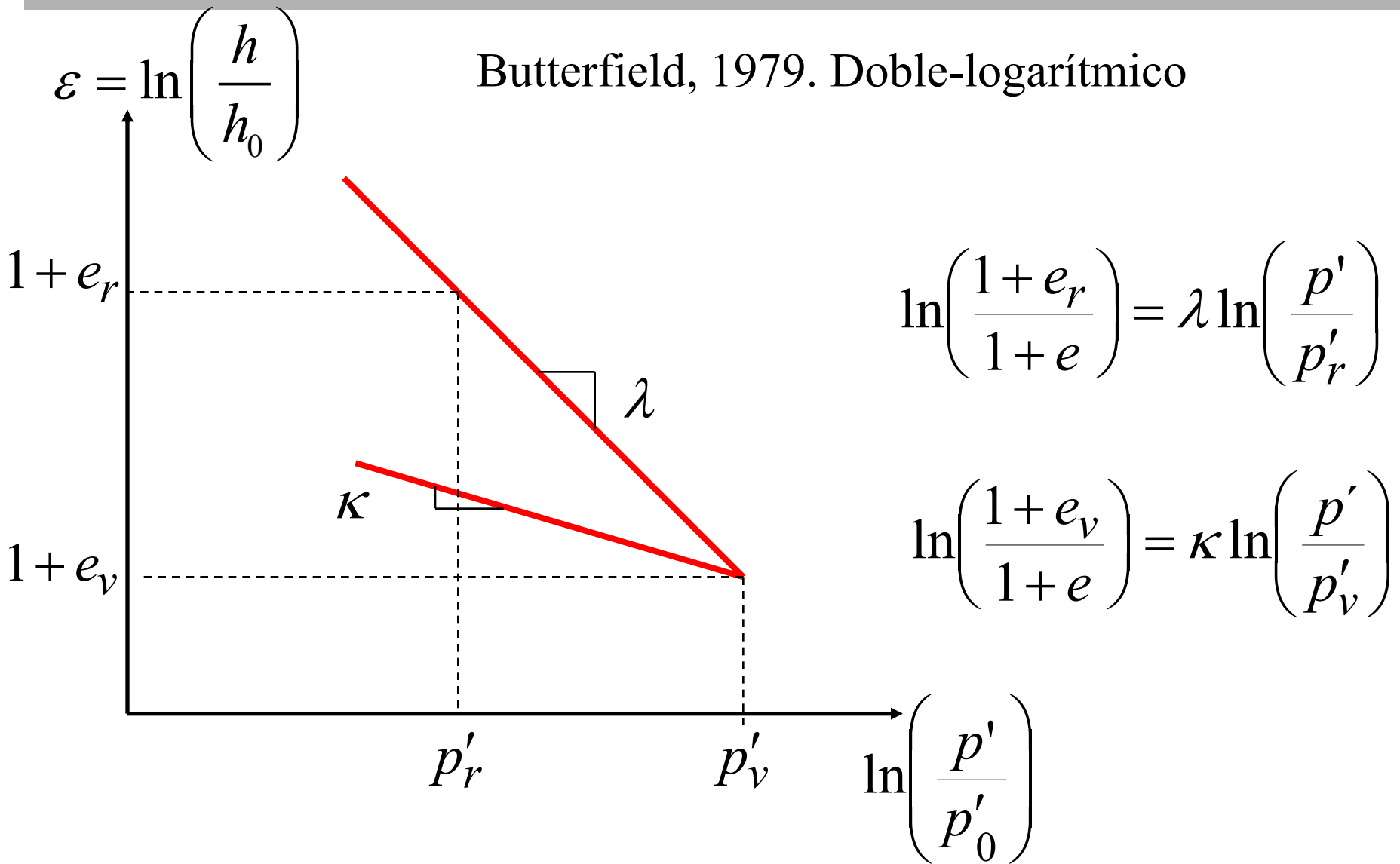
$$\nu = 1 + e$$

$$p' = \left( \frac{\sigma'_1 + 2\sigma'_2}{3} \right)$$

$$\nu = \nu_r - \lambda^* \ln\left( \frac{p'}{p'_r} \right)$$

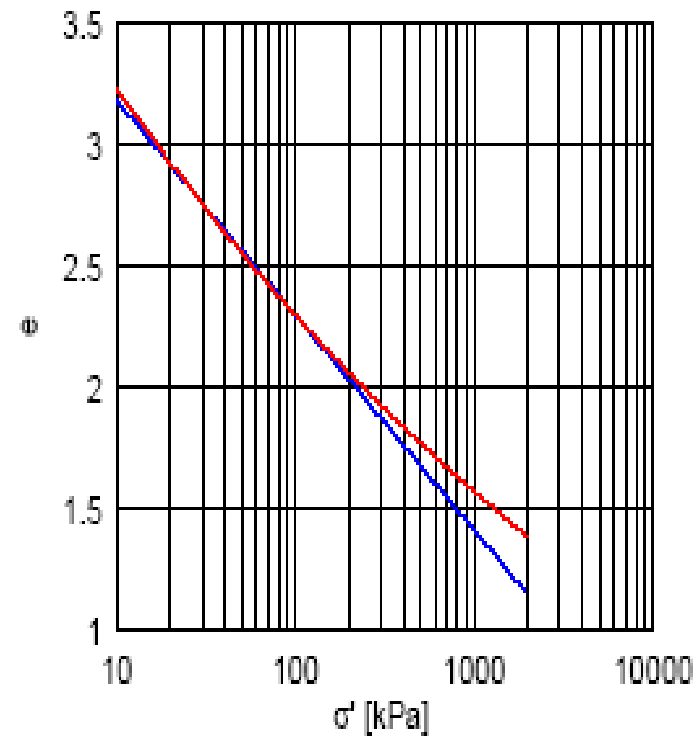
$$\nu = \nu_v - \kappa^* \ln\left( \frac{p'}{p'_v} \right)$$

## Descripción matemática

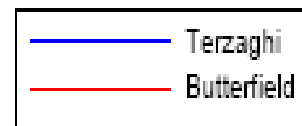
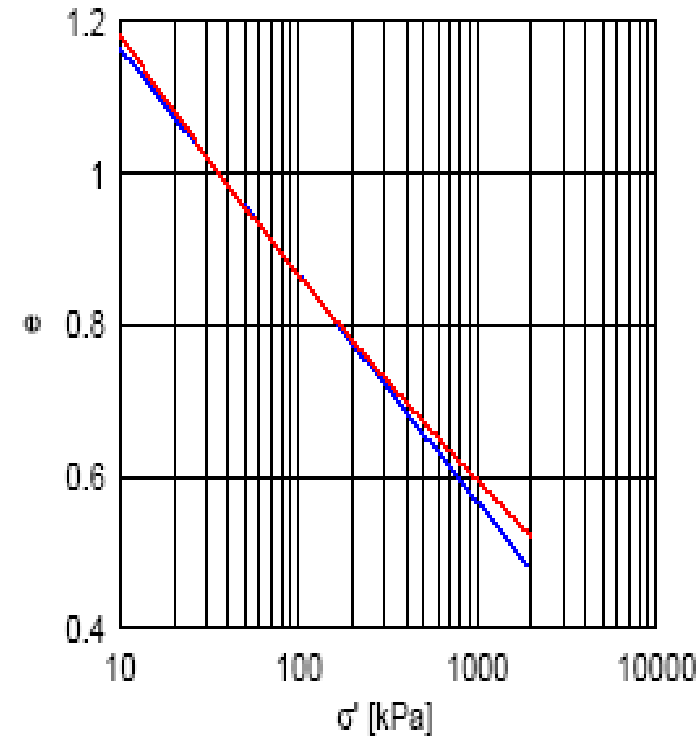


# Descripción matemática

## Arcilla de alta plasticidad



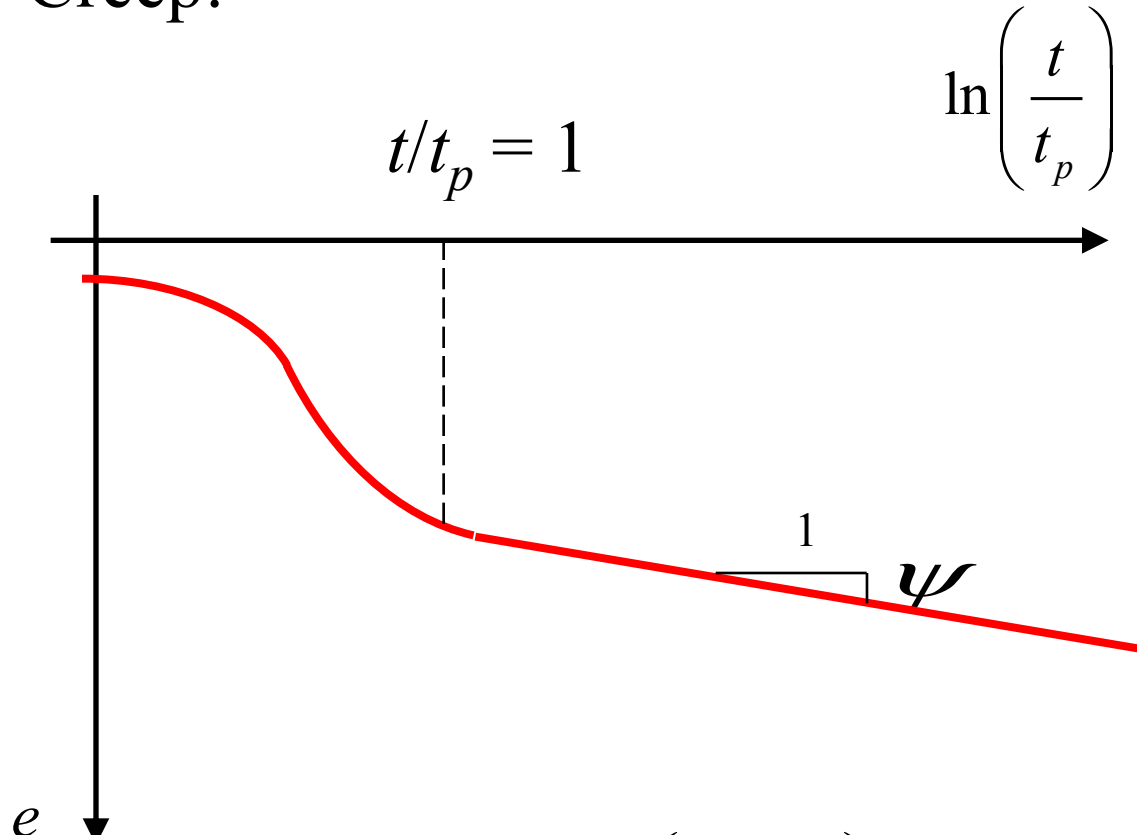
## Arcilla de mediana plasticidad



Cudmani (2004)

# Descripción matemática

Creep:



$$\ln\left(\frac{t}{t_p}\right)$$

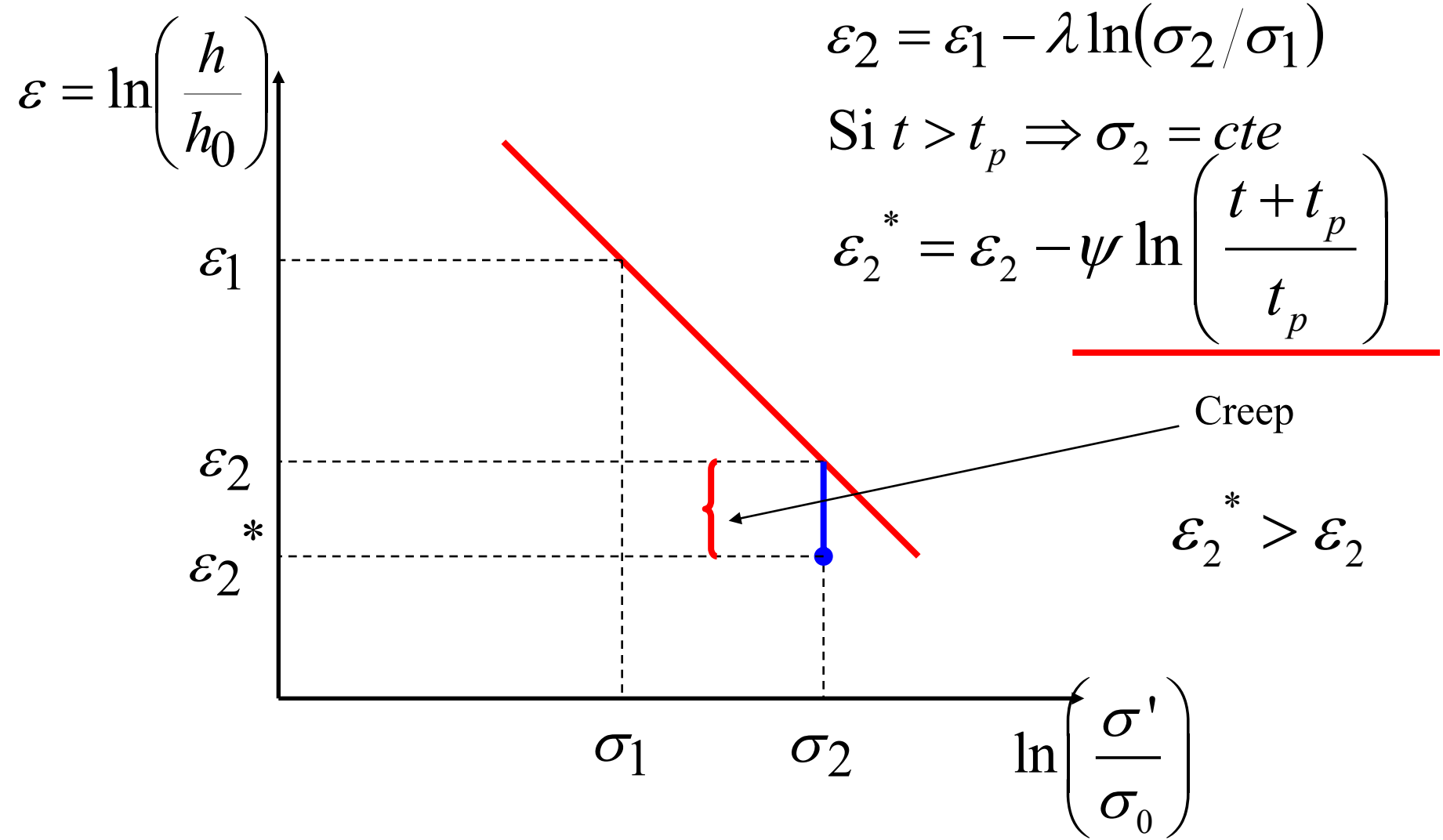
$t$ : tiempo

$t_p$ : tiempo de 100%  
consolidación primaria

$\psi$ : pendiente

$$e = e_p - \psi \ln\left(\frac{t_p + t}{t_p}\right)$$

## Descripción matemática



## **2) Visco-hipoplastidad en 1D**

## 2) Visco-hipoplasticidad en 1D

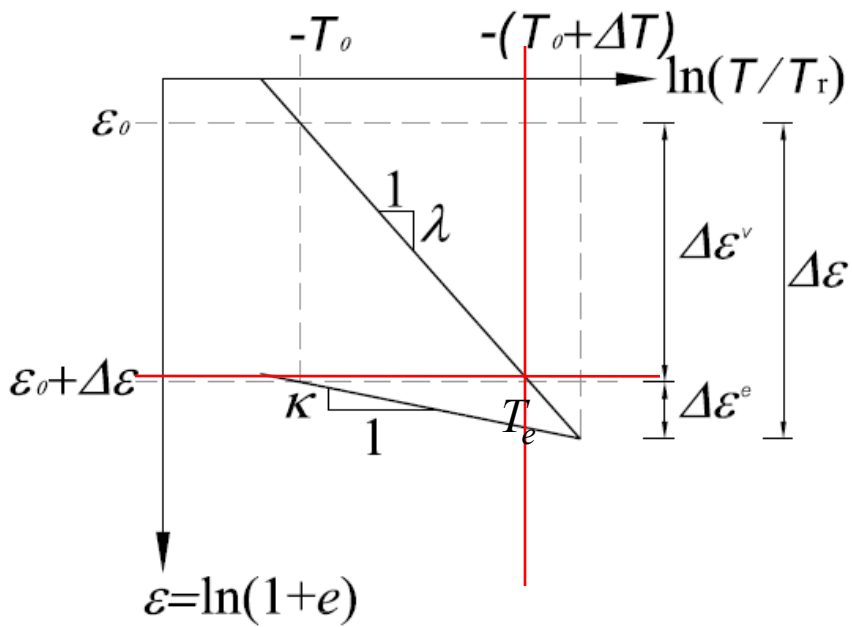
### Convención en Visco-hipoplasticidad:

- Esfuerzos  $T = -\sigma'$ ,  $>0$  en tensión.
- Deformaciones  $\varepsilon$
- Tasa de deformación  $D = -\dot{\varepsilon}$ ,  $>0$  tensión
- Tasa de deformación de referencia  $D_r$   
(antes  $\dot{\varepsilon}_\alpha$ )

(ligeramente distinto a la convención anterior)

El modelo 1D Consiste en 3  
ecuaciones

## 2) Visco-hipoplasticidad en 1D



$$\varepsilon = \varepsilon^e + \varepsilon^v$$

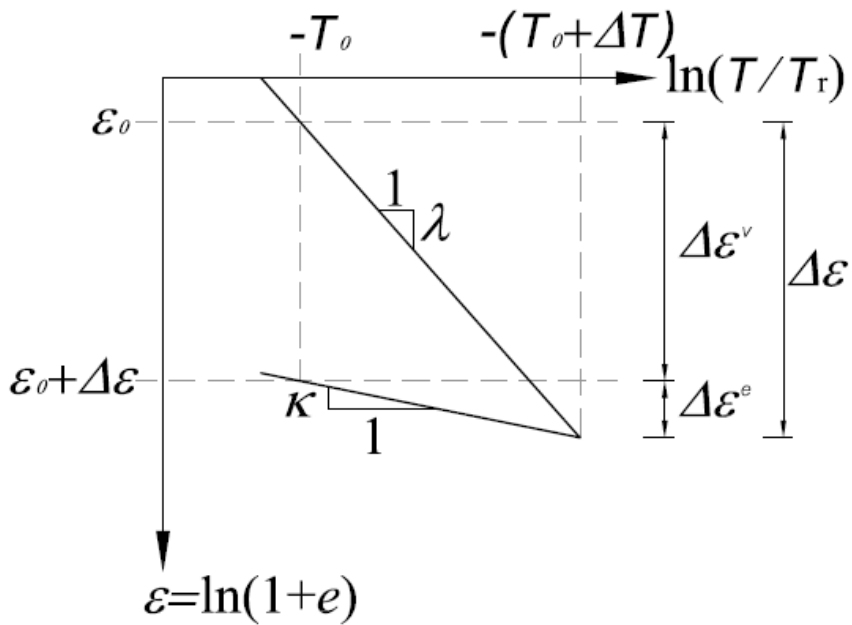
$$D = D^e + D^v$$

$\nearrow$        $\nearrow$   
 Elástica      Viscosa

$$\varepsilon - \varepsilon_0 = -\lambda \ln\left(\frac{T_e}{T_0}\right)$$

Donde  $T_e$  es el esfuerzo equivalente de Hvroslev

## 2) Visco-hipoplasticidad en 1D



$$\epsilon - \epsilon_0 = -\lambda \ln\left(\frac{T_e}{T_0}\right)$$

$$\Delta \epsilon^e = -\kappa \ln\left(\frac{\Delta T}{T_r}\right)$$

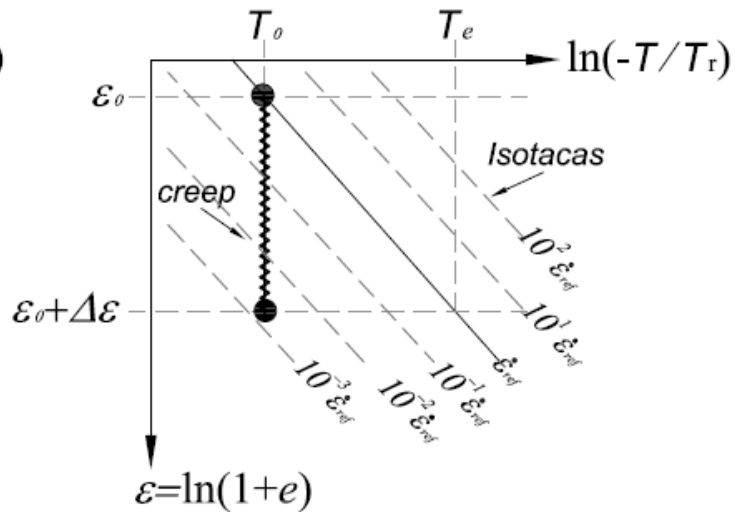
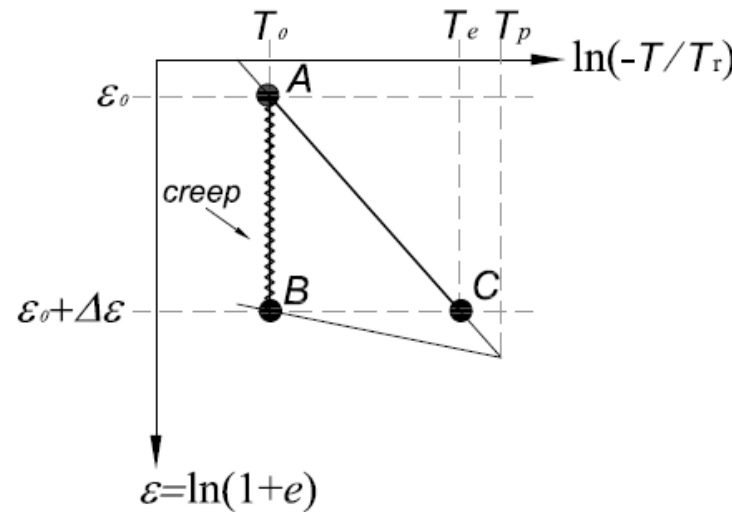
Derivando (con  $D^e = D - D^v$ ):

$$\dot{T} = -\frac{T}{\kappa} (D - D^v)$$

Ec. 1.

## 2) Visco-hipoplasticidad en 1D

Creep:



$$\varepsilon - \varepsilon_0 = -\lambda \ln\left(\frac{T_e}{T_0}\right) = \psi \ln\left(\frac{t + t_0}{t_0}\right)$$

$$-\frac{T_e}{T_0} = \left(\frac{t + t_0}{t_0}\right)^{\psi/\lambda} = \left(\frac{t + t_0}{t_0}\right)^{I_v}$$

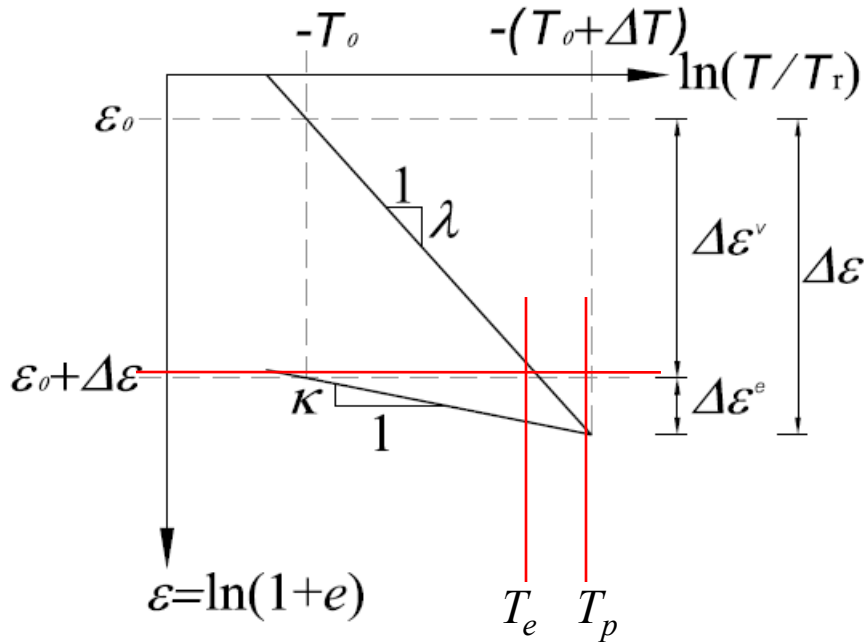
Índice de viscosidad

## 2) Visco-hipoplasticidad en 1D

### ■ OCR: índice de sobreconsolidación.

$$\text{OCR} = -\frac{T_e}{T}$$

Definición de Hvorslev. Similar a la definición de Terzagui:  $\text{OCR} = \sigma'_p / \sigma_0'$



$$\text{OCR} = -\frac{T_e}{T_0} = \left( \frac{t + t_0}{t_0} \right)^{\psi/\lambda} = \left( \frac{t + t_0}{t_0} \right)^{I_v}$$

$$\text{OCR} = \left( \frac{t + t_0}{t_0} \right)^{I_v}$$

## 2) Visco-hipoplasticidad en 1D

$$\text{OCR} = \left( \frac{t + t_0}{t_0} \right)^{I_v}$$

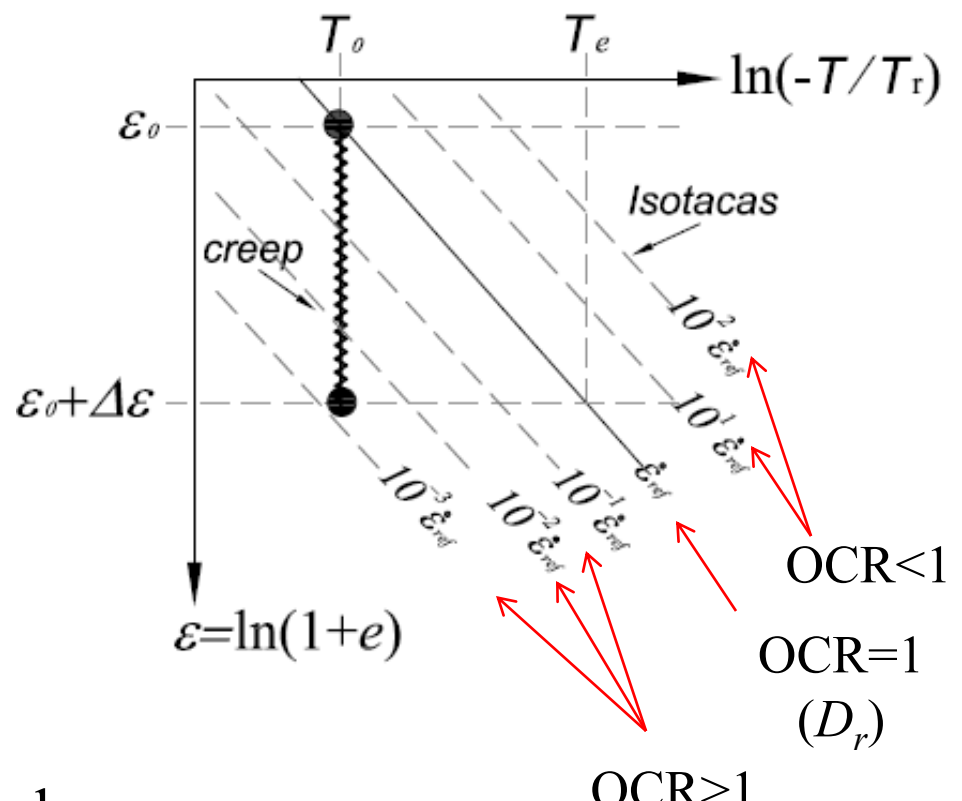
$$\frac{t + t_0}{t_0} = \text{OCR}^{1/I_v}$$

$$\frac{\Delta \varepsilon / (t + t_0)}{\Delta \varepsilon / t_0} = \text{OCR}^{1/I_v}$$

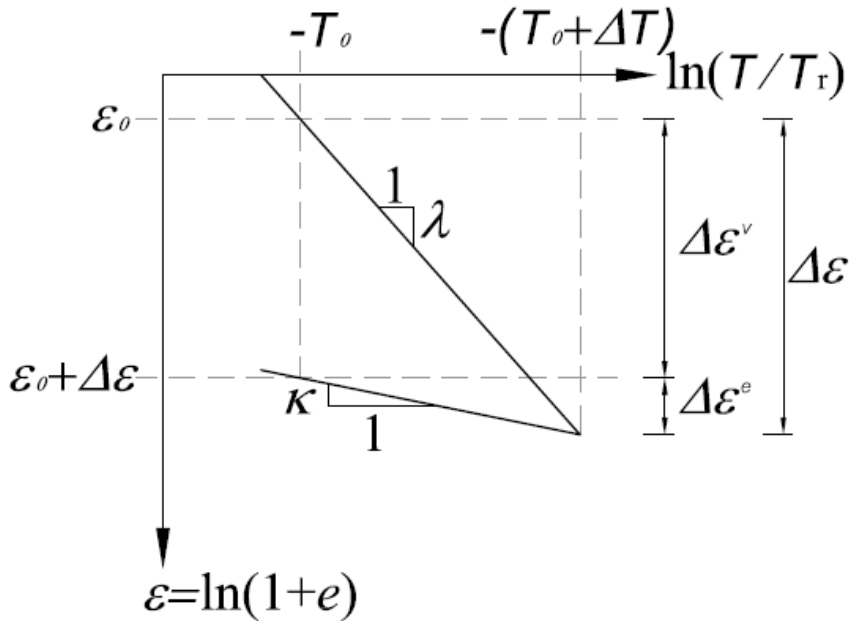
$$\frac{D^v}{D_r} = \text{OCR}^{1/I_v}$$

Ec. 2.

El OCR depende de la tasa de deformación. Tasa de deformación viscosa.



## 2) Visco-hipoplasticidad en 1D



$$\varepsilon - \varepsilon_0 = -\lambda \ln \left( \frac{T_e}{T_0} \right)$$

Teniendo en cuenta que:  $\varepsilon = (1+e)$   
y  $\varepsilon_0 = (1+e_0)$  entonces:

$$T_e = T_0 \left( \frac{1+e}{1+e_0} \right)^{-1/\lambda}$$

Derivando:

$$\dot{T}_e = -\frac{T_e D}{\lambda}$$

Ec. 3

## 2) Visco-hipoplasticidad en 1D

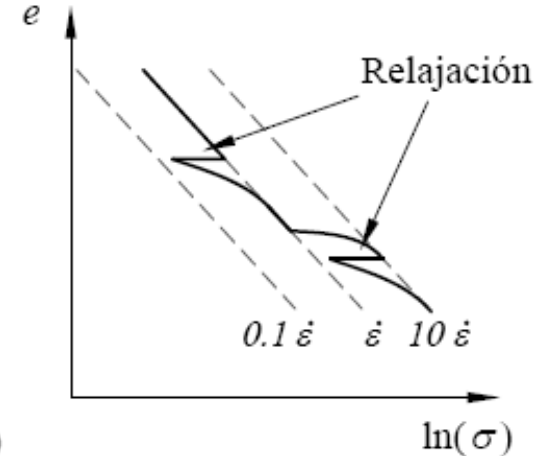
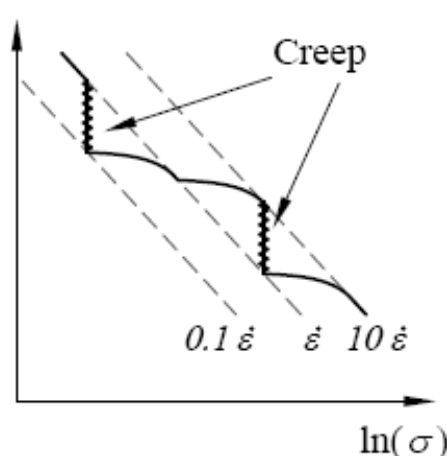
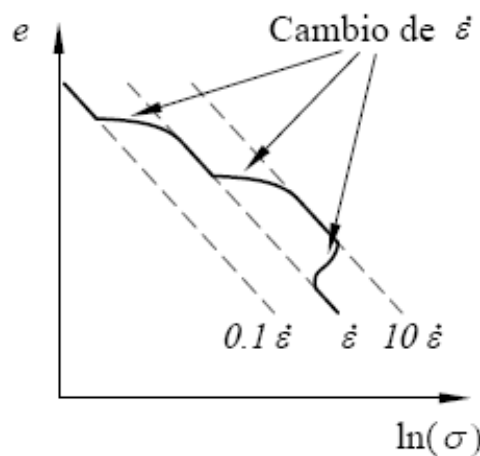
Las 3 ecuaciones básicas de la Visco-hipoplasticidad son:

$$1) \quad \dot{T} = -\frac{T}{\kappa}(D - D^v)$$

$$2) \quad \frac{D^v}{D_r} = \text{OCR}^{1/I_v}$$

$$3) \quad \dot{T}_e = -\frac{T_e D}{\lambda}$$

Reproduce:



## 2) Visco-hipoplasticidad en 1D

Reproducción del comportamiento dependiente de  $D$ ; condición de isotaca:

$$\frac{d}{dt} D^v = 0 \quad (\text{Ec. 4})$$

$$(\text{Ec. 2}) \quad D^v = D^r \left( -\frac{T}{T_e} \right)^{1/I_v} \quad \therefore \quad \ln D^v = \ln(-D_r) + \frac{1}{I_v} \ln \left( -\frac{T}{T_e} \right)$$

Con la condición de la (Ec. 4):  $\frac{\dot{T}_e}{T_e} = \frac{\dot{T}}{T}$

Combinando Ec. 4, Ec. 1 y Ec. 3:  $D = D^v \frac{\lambda}{\lambda - \kappa} = \text{kte}$   
(isotaca)

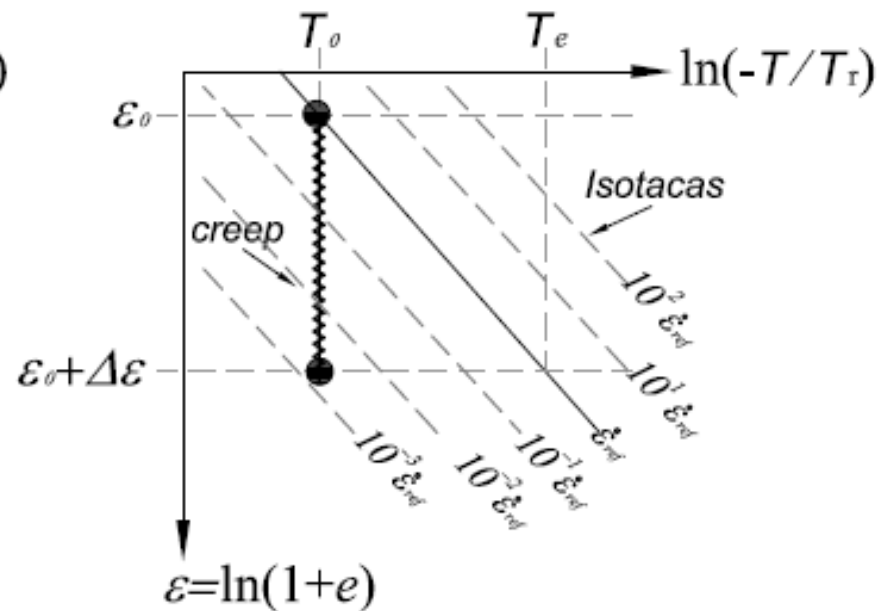
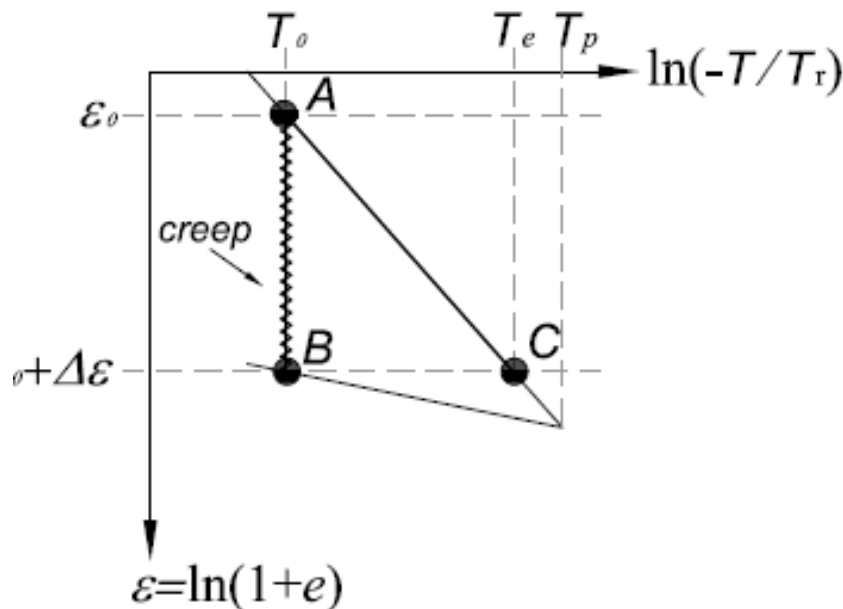
## 2) Visco-hipoplasticidad en 1D

**Saltos isotácas:**

$$\frac{d}{dt} D^v = 0$$

$$\frac{D^v_a}{D^v_b} = \frac{D_a}{D_b} \left( \frac{\lambda}{\lambda - \kappa} \right) = \ln \left( \frac{T_b}{T_a} \right)$$

**Creep:**  $\dot{T} = 0$  (Ec.1)  $\dot{T} = -\frac{T}{\kappa}(D - D^v) = 0 \longrightarrow D = D^v$



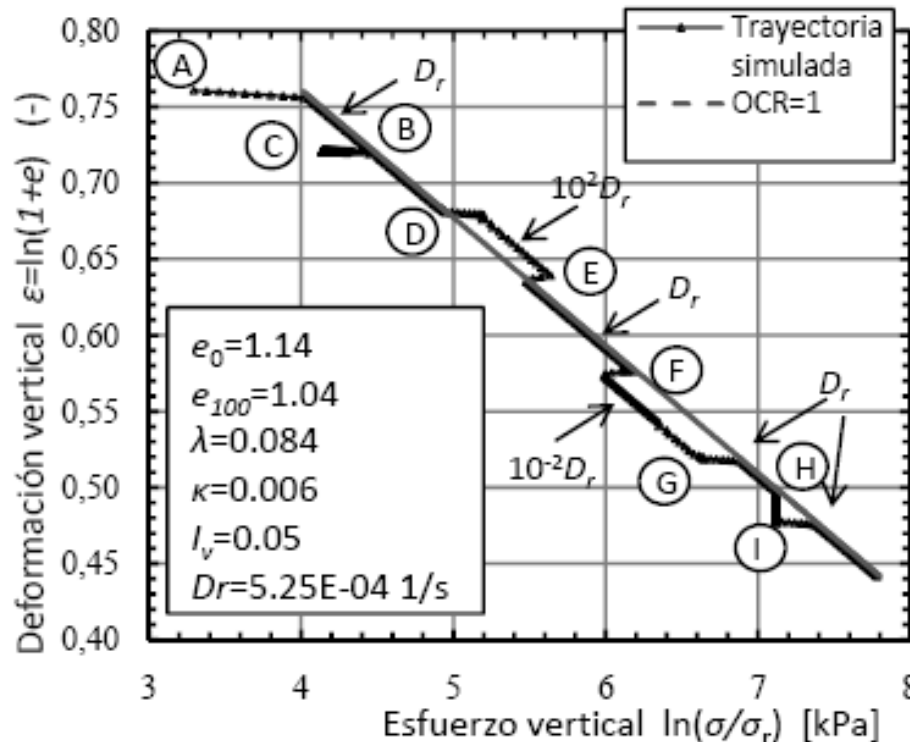
## 2) Visco-hipoplasticidad en 1D

### Relajación:

$$\dot{T} = -\frac{T}{\kappa}(D - D^v) \quad D = 0 \quad \therefore \quad \dot{T} = -\frac{T}{\kappa D^v} \quad (\text{Esfuerzo disminuye})$$

Ec. 1.

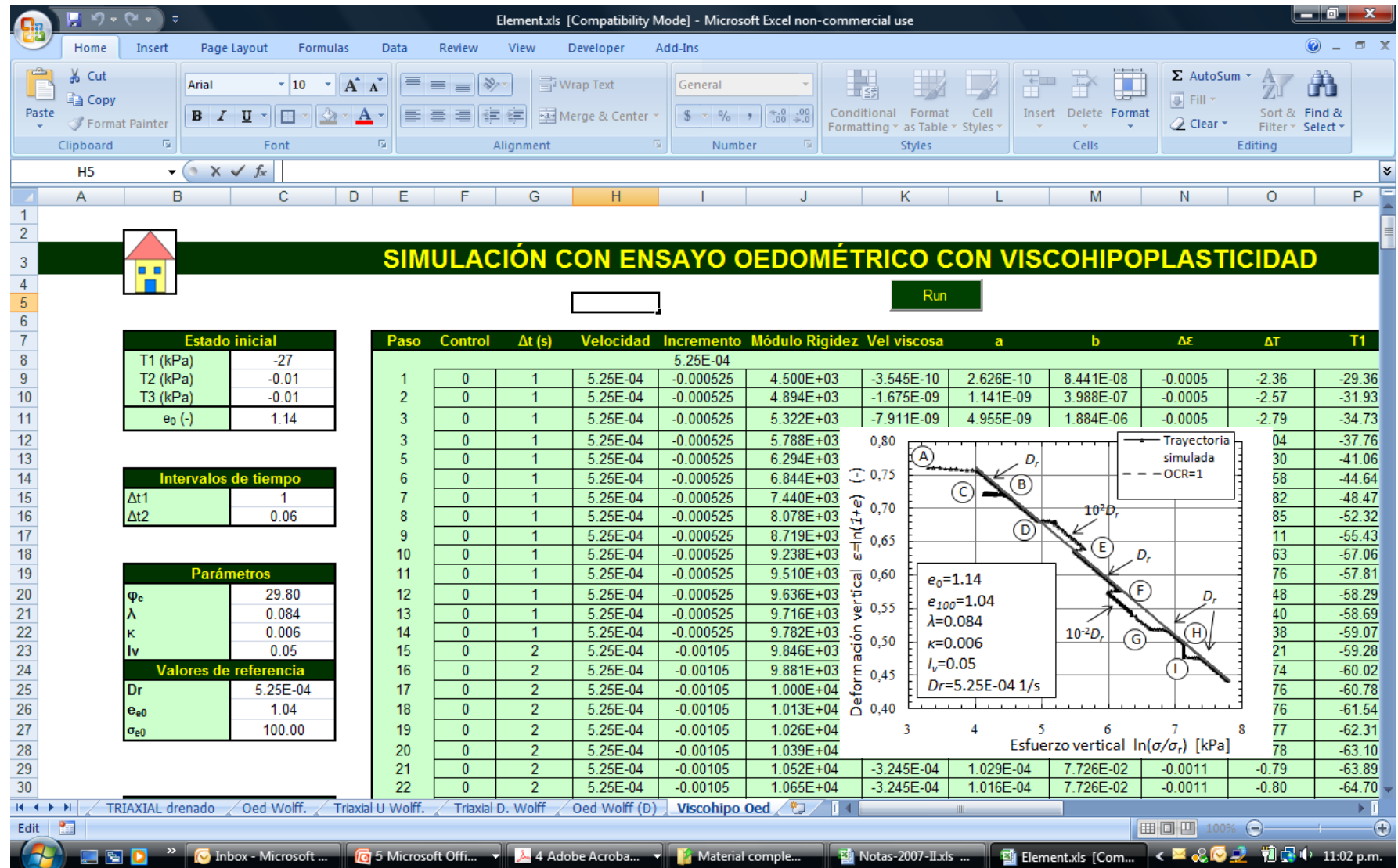
### Ejemplo de simulación



## 2) Visco-hipoplasticidad en 1D

Constantes material	Variables de estado	Valores de referencia	Condición inicial
$\lambda$	$T$	$T_{e0}$	$T_0$
$K$	$e$	$e_{e0}$	$e_0$
$I_v$		$\Gamma$ o $D_r$	

## 2) Visco-hipoplasticidad en 1D



## 2) Visco-hipoplasticidad en 1D

Integración numérica:

$$1) \quad \dot{T} = -\frac{T}{\kappa}(D - D^v)$$

$$2) \quad D^v = -D_r \left( \frac{1}{OCR} \right)^{1/I_v}$$

$$3) \quad \dot{T}_e = -\frac{T_e D}{\lambda}$$

$$D^{v(t+1)} = \left( D^{v(t)} + \frac{\partial D^{v(t)}}{\partial T} \Delta T + \frac{\partial D^{v(t)}}{\partial \varepsilon} \Delta \varepsilon \right) \cdot \Delta t$$

$$\frac{\partial D^{v(t)}}{\partial T} = \frac{1}{I_v} \frac{D^v}{T} = a \quad (\text{derivando Ec. 2})$$

$$\frac{\partial D^{v(t)}}{\partial \varepsilon} = \frac{D^v}{\lambda I_v} = b$$

$$\Delta T = -\frac{T^{(t)}}{\kappa} \left( \Delta \varepsilon - \left( D^{v(t)} + a \cdot \Delta T + b \cdot \Delta \varepsilon \right) \cdot \Delta t \right) \quad \text{De la Ec. 1}$$

Genera inestabilidad en la ecuación,  $1/I_v \sim 20$

## 2) Visco-hipoplasticidad en 1D

$$\Delta T = -\frac{T^{(t)}}{\kappa} \left( \Delta \varepsilon - \left( D^v{}^{(t)} + a \cdot \Delta T + b \cdot \Delta \varepsilon \right) \cdot \Delta t \right) \quad \text{Ec. anterior}$$

Despejando  $\Delta T$  en función de  $\Delta \varepsilon$ :

$$\Delta T = \frac{-T/\kappa \left( (1 - b \cdot \Delta t) \cdot \Delta \varepsilon - D^v \cdot \Delta t \right)}{(1 - a \cdot \Delta t \cdot T / \kappa)}$$

Despejando  $\Delta \varepsilon$  en función de  $\Delta T$ :

$$\Delta \varepsilon = \left( -\frac{\Delta T}{T \cdot \kappa} + D^v \cdot \Delta t + a \cdot \Delta T \cdot \Delta t \right) \frac{1}{1 - b \Delta t}$$

### **3) Visco-hipoplasticidad en 3D**

### 3) Visco-hipoplasticidad en 3D

La Visco-hipoplasticidad está deducida a partir de la ecuación constitutiva hipoplástica:

- $\mathbf{T} = \mathcal{E} : \mathbf{D}$
- $\mathbf{T} = f_b f_e (\mathcal{L} : \mathbf{D} + f_d \mathbf{N} \|\mathbf{D}\|)$  Ecuación constitutiva hipoplástica  
(versión de Wollfersdorff)
- $\mathcal{L} := \frac{1}{\hat{\mathbf{T}} : \hat{\mathbf{T}}} (F^2 I + a^2 \hat{\mathbf{T}} \hat{\mathbf{T}})$  Tensor de cuarto orden lineal  
en  $\mathbf{D}$
- $\mathbf{N} := \frac{Fa}{\hat{\mathbf{T}} : \hat{\mathbf{T}}} (\hat{\mathbf{T}} + \hat{\mathbf{T}}^*)$  Tensor de segundo orden no  
lineal en  $\mathbf{D}$

### 3) Visco-hipoplasticidad en 3D

$$\overset{\circ}{\mathbf{T}} = f_b f_e \left( \mathcal{L} : \mathbf{D} + f_d \mathbf{N} \|\mathbf{D}\| \right)$$

$$\mathcal{L} := \frac{1}{\hat{\mathbf{T}} : \hat{\mathbf{T}}} \left( F^2 I + a^2 \hat{\mathbf{T}} \hat{\mathbf{T}} \right) \quad \mathbf{N} := \frac{Fa}{\hat{\mathbf{T}} : \hat{\mathbf{T}}} \left( \hat{\mathbf{T}} + \hat{\mathbf{T}}^* \right)$$

$\overset{\circ}{\mathbf{T}}$  Tensor de la tasa de esfuerzo de Zaremba-Jaumann's

$$\overset{\circ}{\mathbf{T}} = \dot{\mathbf{T}} + \mathbf{T} \mathbf{W} - \mathbf{W} \mathbf{T}$$

$\mathbf{W}$  Tensor de giro del material

$\dot{\mathbf{T}}$  Tasa de esfuerzo

### 3) Visco-hipoplasticidad en 3D

$$\overset{\circ}{\mathbf{T}} = f_b f_e \left( \mathcal{L} : \mathbf{D} + f_d \mathbf{N} \|\mathbf{D}\| \right)$$

$$\mathcal{L} := \frac{1}{\hat{\mathbf{T}} : \hat{\mathbf{T}}} \left( F^2 I + a^2 \hat{\mathbf{T}} \hat{\mathbf{T}} \right) \quad \mathbf{N} := \frac{Fa}{\hat{\mathbf{T}} : \hat{\mathbf{T}}} \left( \hat{\mathbf{T}} + \hat{\mathbf{T}}^* \right)$$

$\mathbf{T}$  Tensor de esfuerzo de Cauchy

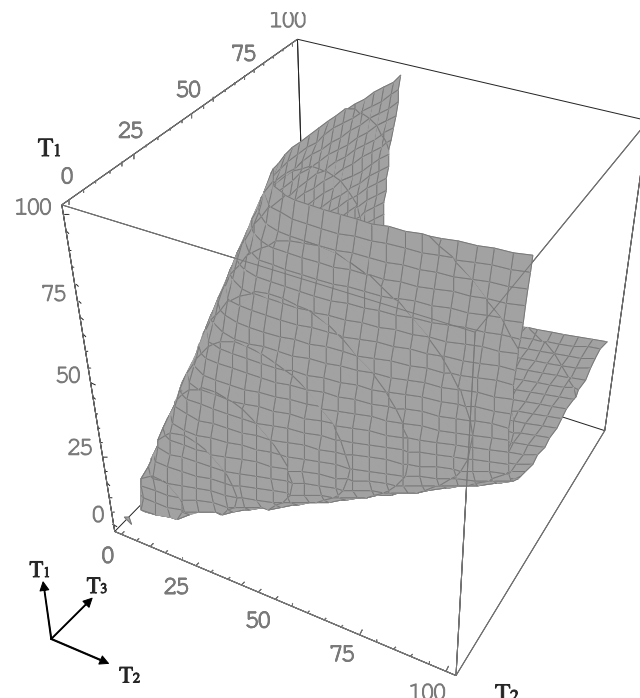
$\hat{\mathbf{T}} = \frac{\mathbf{T}}{\text{tr } \mathbf{T}}$  Tensor normalizado de Cauchy

$\mathbf{D}$  Tensor de elongación.

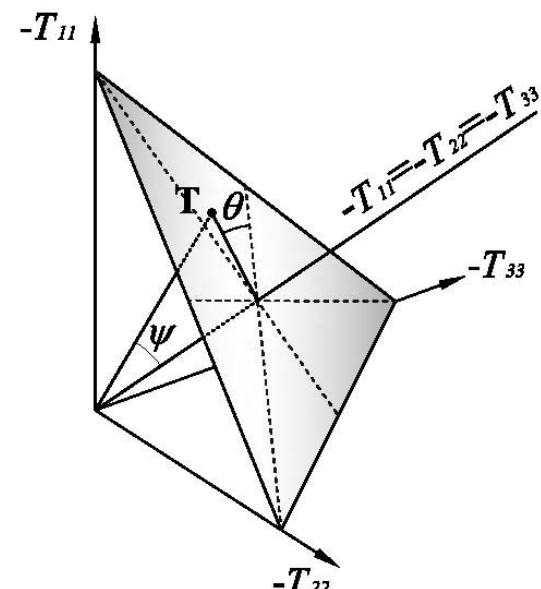
$\hat{\mathbf{T}}^* = \frac{\mathbf{T}}{\text{tr } \mathbf{T}} - \frac{1}{3} \text{tr } \mathbf{T} \mathbf{I}_1$  Tensor de esfuerzo desviador normalizado.

### 3) Visco-hipoplasticidad en 3D

Matsuoka-Nakai



$$a = \frac{\sqrt{3}(3 - \sin(\varphi_c))}{2\sqrt{2}\sin(\varphi_c)}$$



$$F = \sqrt{\frac{1}{8} \tan^2(\psi) + \frac{2 - \tan^2(\psi)}{2 + \sqrt{2} \tan(\psi) \cos(3\theta)}} - \frac{1}{2\sqrt{2}} \tan(\psi)$$

### 3) Visco-hipoplasticidad en 3D

#### De Hipoplasticidad a Visco-hipoplasticidad

- Se modifica el factor de barotropía  $f_b$
- Se remueven los factores de picnotropía  $f_e$  y de densidad  $f_d$ ,  $f_e = f_d = 1$ . La dependencia de la relación de vacíos es introducida por el OCR.
- El término no lineal se reemplaza por un término que tiene en cuenta los efectos por la tasa de deformación
  - $\mathbf{T} = f_b \cancel{f_e} \left( \mathcal{L} : \mathbf{D} + \cancel{f_d} \mathbf{N} \|\mathbf{D}\| \right)$
  - $\mathbf{T} = f_b \left( \mathcal{L} : \mathbf{D} + \mathbf{N} \|\mathbf{D}\| \right)$
  - $\mathbf{T} = f_b \mathcal{L} : \left[ \mathbf{D} + \left( \mathcal{L}^{-1} : \mathbf{N} \right) \|\mathbf{D}\| \right]$

### 3) Visco-hipoplasticidad en 3D

$$\overset{\circ}{\mathbf{T}} = f_b \mathcal{L} : \left[ \mathbf{D} + (\mathcal{L}^1 : \mathbf{N}) \|\mathbf{D}\| \right]$$
$$\overset{\circ}{\mathbf{T}} = f_b \hat{\mathcal{L}} : \left\{ \mathbf{D} - \underbrace{\left[ -(\hat{\mathcal{L}}^1 : \mathbf{N}) \|\mathbf{D}\| \right]}_{\mathbf{D}^\nu} \right\}$$

$$\overset{\circ}{\mathbf{T}} = f_b \hat{\mathcal{L}} : (\mathbf{D} - \mathbf{D}^\nu)$$

Ecuación constitutiva Niemunis (1995)

Modelo 1D →

$$\dot{\sigma}' = -\frac{\sigma'}{\kappa} (\dot{\varepsilon} - \dot{\varepsilon}^\nu)$$

Modelo 3D →

$$\overset{\circ}{\mathbf{T}} = f_b \hat{\mathcal{L}} : (\mathbf{D} - \mathbf{D}^\nu)$$

### 3) Visco-hipoplasticidad en 3D

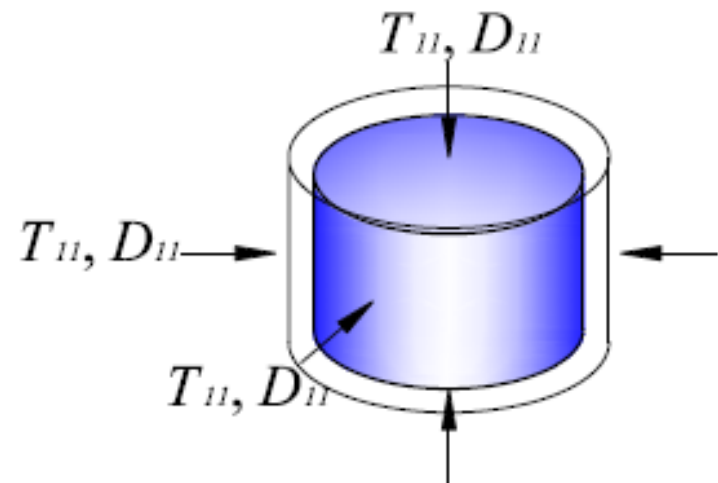
#### Determinación del $f_b$

$$\overset{\circ}{\mathbf{T}} = f_b \mathcal{L} : \left[ \mathbf{D} + \left( \mathcal{L}^{-1} : \mathbf{N} \right) \|\mathbf{D}\| \right]$$

Para compresión isotrópica:

$$f_b = - \frac{\text{tr T}}{\left( 1 + \frac{a^2}{3} \right) \kappa}$$

$$a := \frac{\sqrt{3}(3 - \sin \varphi_c)}{2\sqrt{2} \sin \varphi_c}$$



Es proporcional a la traza de los esfuerzos

### 3) Visco-hipoplasticidad en 3D

$$\overset{\circ}{\mathbf{T}} = f_b \hat{\mathcal{L}} : \left\{ \mathbf{D} - \underbrace{\left[ -(\hat{\mathcal{L}}^{-1} : \mathbf{N}) \|\mathbf{D}\| \right]}_{\mathbf{D}^v} \right\}$$

Dirección de  $\mathbf{D}^v$ :

$$\frac{\hat{\mathcal{L}}^{-1} : \mathbf{N}}{\|\hat{\mathcal{L}}^{-1} : \mathbf{N}\|} = \vec{\mathbf{B}}$$

Magnitud de  $\mathbf{D}^v$ :

$$[\![\mathbf{D}^v]\!] = -D_r \left( \frac{1}{\text{OCR}} \right)^{1/I_v}$$

(Regla de flujo hipoplástica)

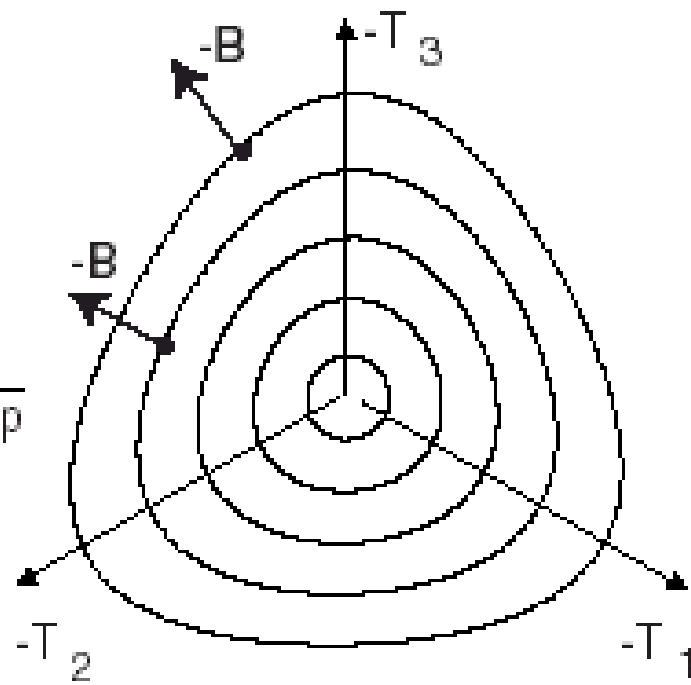
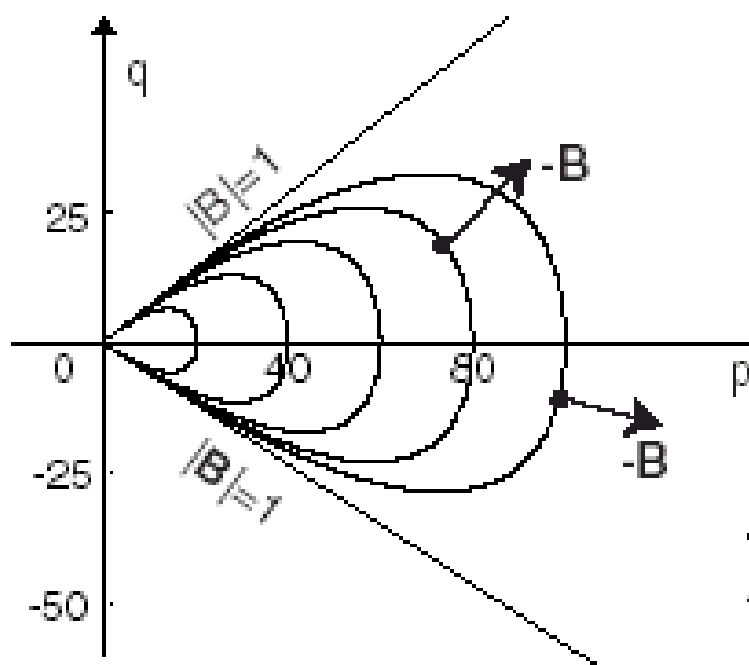
$$\mathbf{D}^v = -D_r \vec{\mathbf{B}} \left( \frac{1}{\text{OCR}} \right)^{1/I_v}$$

Modelo 1D:

$$D^v = -D_r \left( \frac{1}{\text{OCR}} \right)^{1/I_v}$$

### 3) Visco-hipoplasticidad en 3D

$$\mathbf{D}^v = -D_r \vec{\mathbf{B}} \left( \frac{1}{\text{OCR}} \right)^{1/I_v}$$



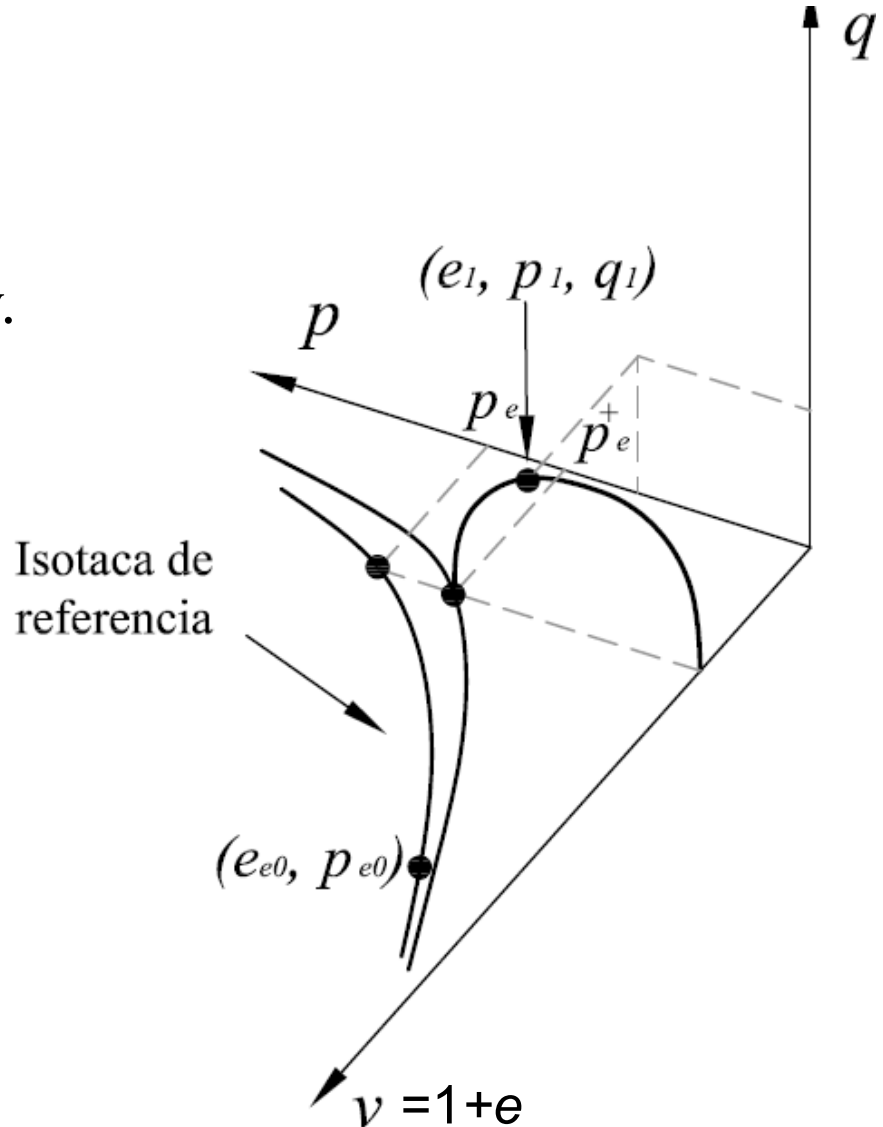
### 3) Visco-hipoplasticidad en 3D

Definición del OCR en 3D:

- Se introduce la superficie de fluencia elíptica del Cam-Clay.

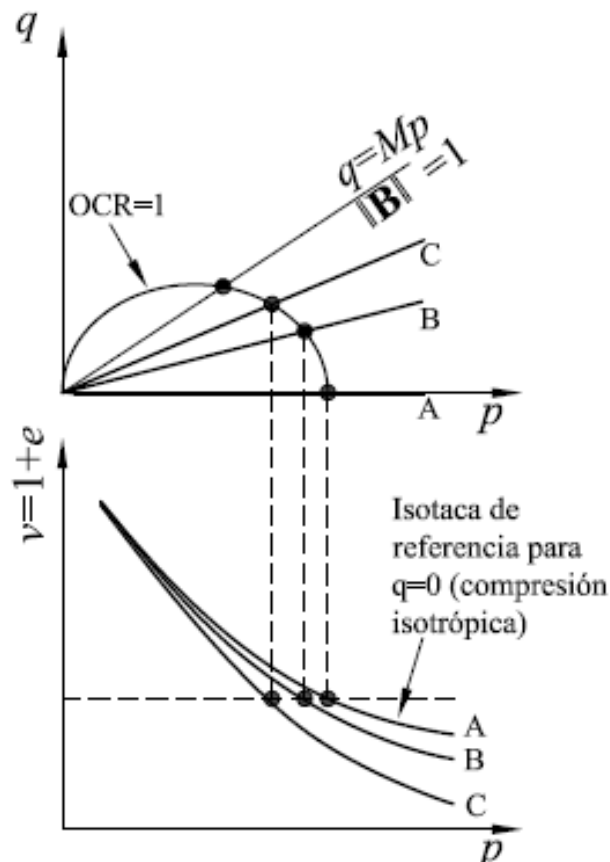
$$p(p - p_e) + \frac{q^2}{M^2} = 0$$

$M$ : pendiente de la línea del estado crítico en  $p$  vs.  $q$

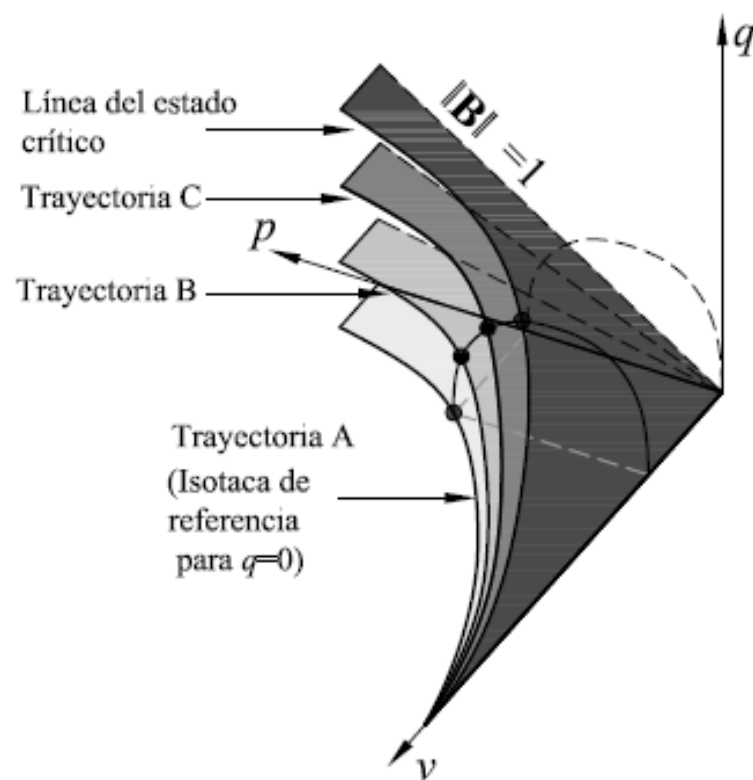


### 3) Visco-hipoplasticidad en 3D

$OCR=1$ :



(a) Trayectorias con  $OCR = 1$ , bajo la misma magnitud en la tasa de deformación  $\| \mathbf{D} \| =$  kte y con distintos sentidos de deformación



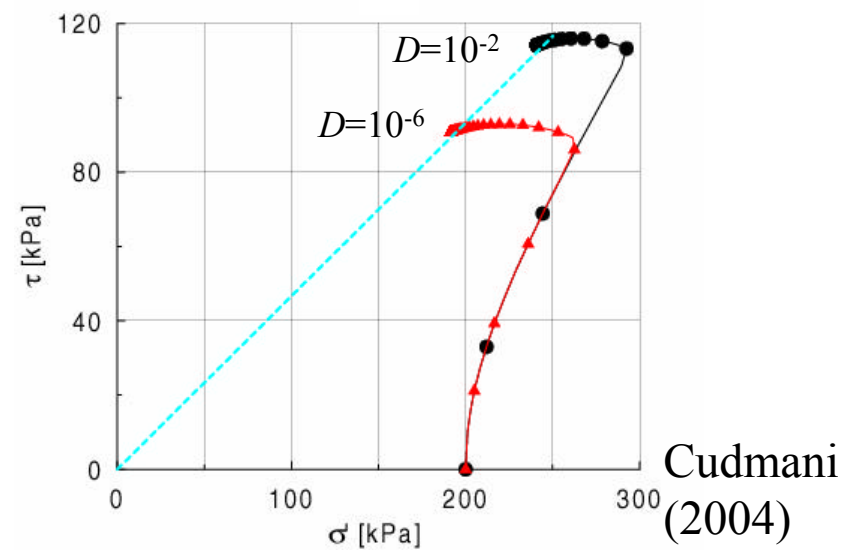
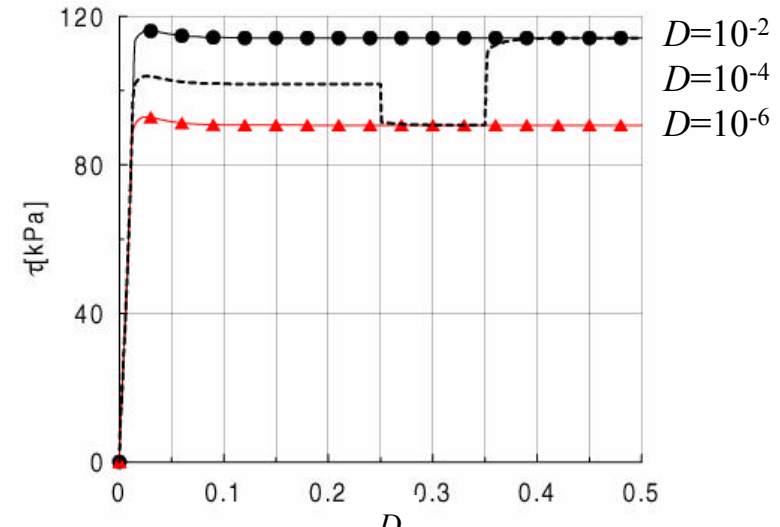
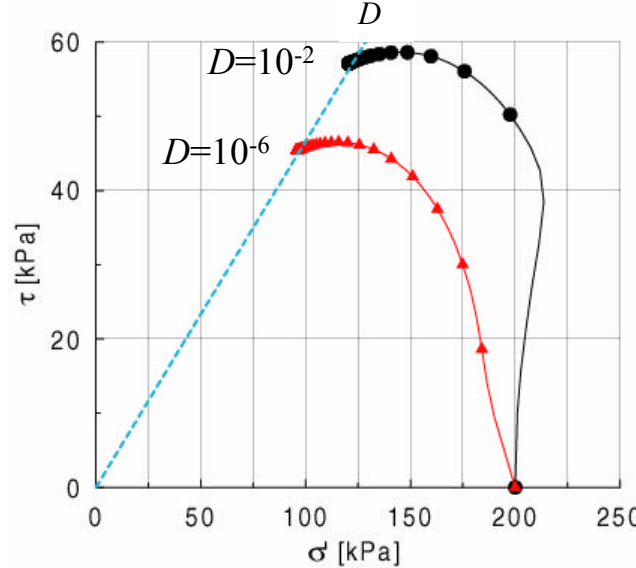
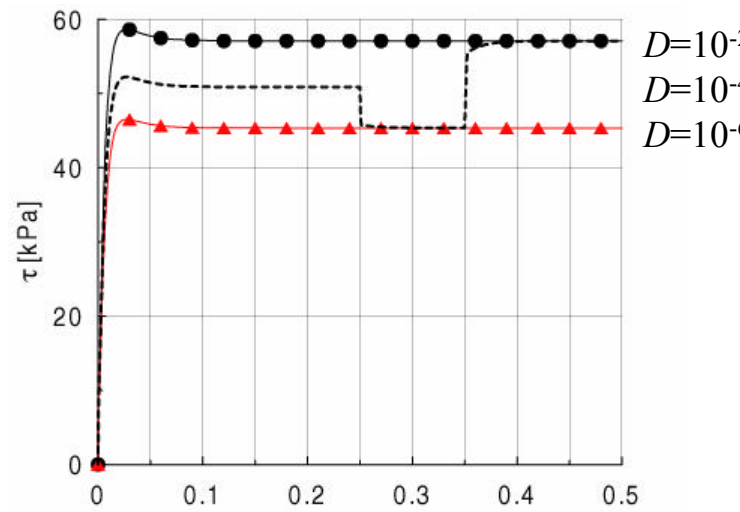
(b) Representación en el diagrama  $v - p - q$

### 3) Visco-hipoplasticidad en 3D

Reference model	Ensayo
$e_{100}$	oedometrico
$\lambda$	oedometrico
$\kappa$	oedometrico
$\beta_R$	Ensayo no drenado
$I_v$	Creep, límite líquido
$D_r$	oedometrico
$\varphi_c$	triaxial
OCR	oedometrico

### 3) Visco-hipoplasticidad en 3D

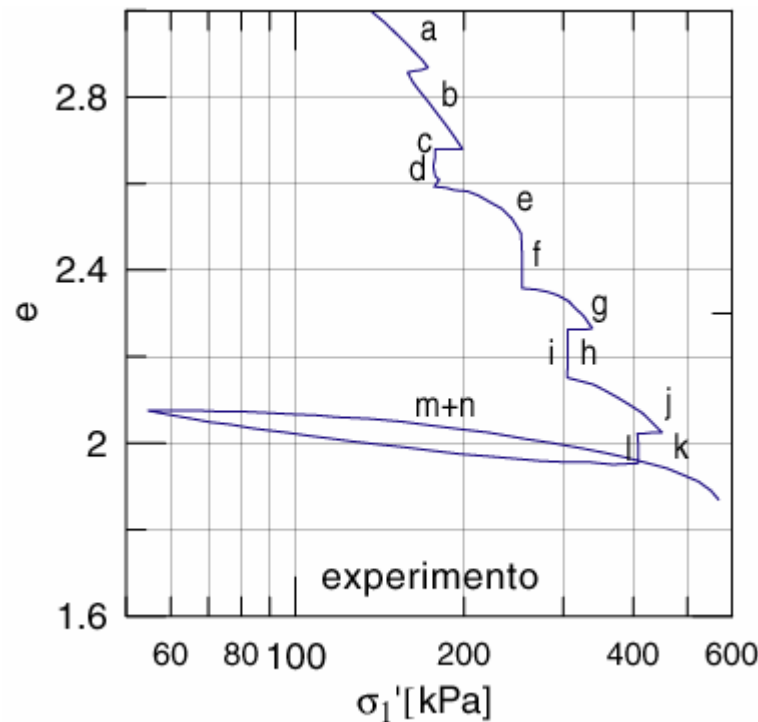
Corte simple no drenado



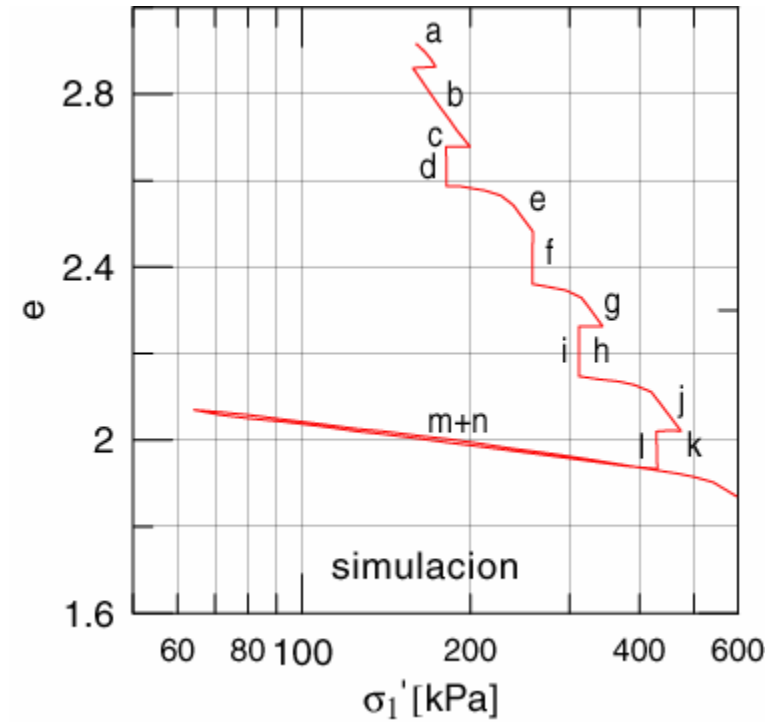
Cudmani  
(2004)

### 3) Visco-hipoplasticidad en 3D

#### Ensayo oedométrico



Krieg (2000)



Niemunis (2003)

### 3) Visco-hipoplasticidad en 3D

Fin, gracias.

# Referencias

- Butterfield, R.: A natural compression law for soils. *Géotechnique*. 29 (4): 469-480, 1979.
- Leinenkugel, H.J.: Deformation and strength behaviour of cohesive soils experiments and their physical meaning. *PhD Dissertation. University of Karlsruhe. Publications of Institute of Soil and Rock Mechanics, Universität Karlsruhe (in German)*, Heft 66, 1976.
- Niemunis, A.: A visco-plastic model for clay and its FE-implementation. In E. Dembicki, W. Cichy, L Balachowski (eds), *Resultants Recents en Mécanique des Sols et des roches, Politechnika Gdanska*: 151-162, 1996.
- Niemunis, A.: Extended hypoplastic models for soils. *Dissertation, University of Bochum. Publications of Institute für Grundbau und Bodenmechanik der Ruhr, Bochum*, habilitation Thesis No. 34, 2003.
- Niemunis A. & Herle, I.: Hypoplastic model for cohesionless soils with elastic strain range. *Mechanics of Cohesive-Frictional Materials* 2: 279-299, 1997.
- Wolffersdorff , P. A. v.: A hypoplastic relation for granular materials with a predefined limit state surface. *Mechanics of cohesive-frictional materials*, Vol 1, pp 251–271, 1996.